

# Ratio sFlt-1/PlGF en CIR

---

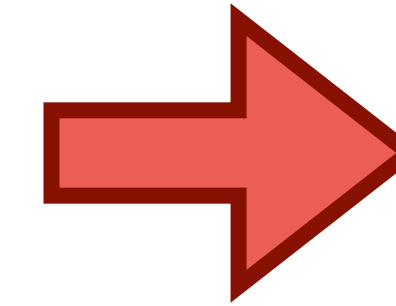
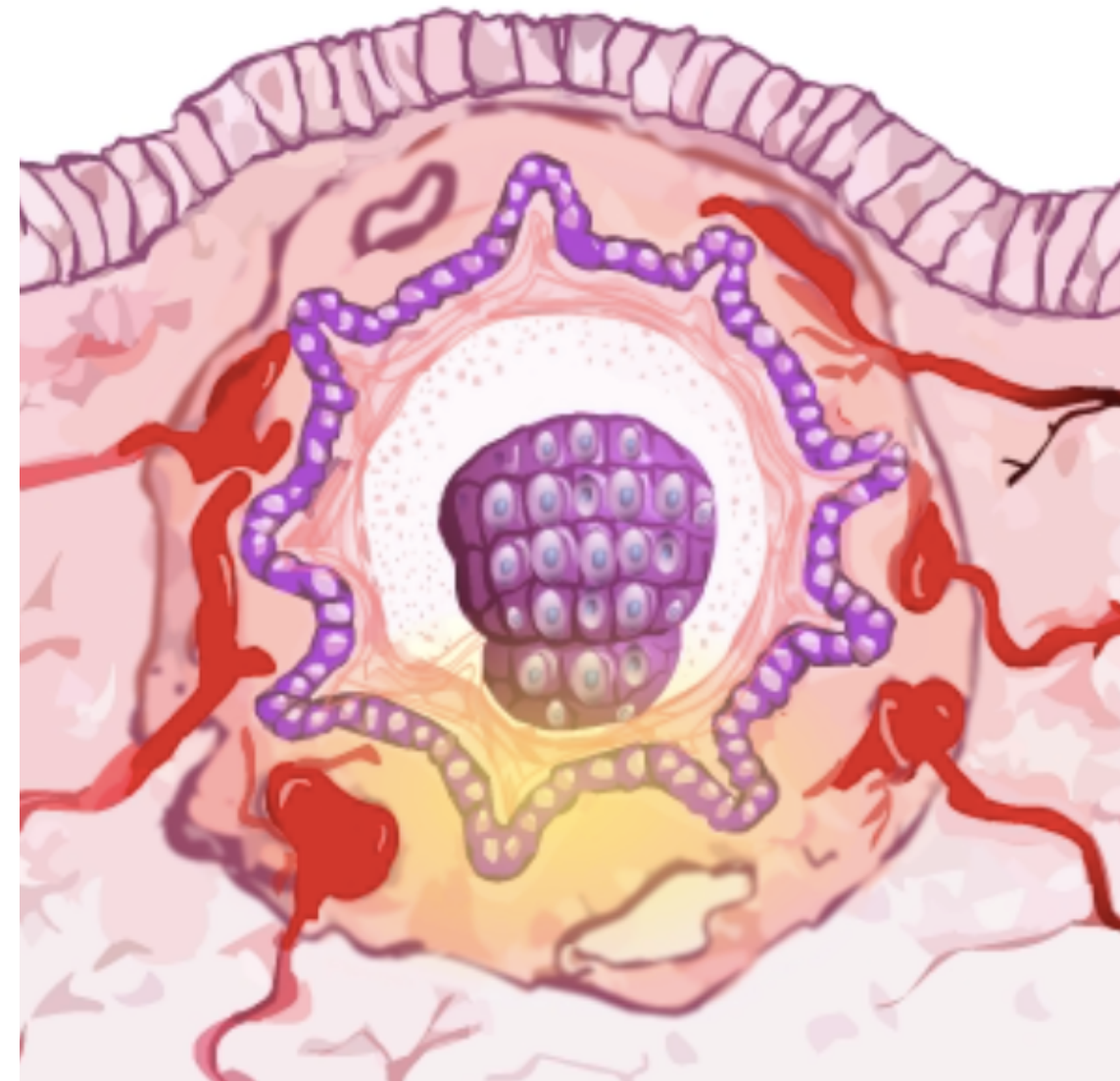
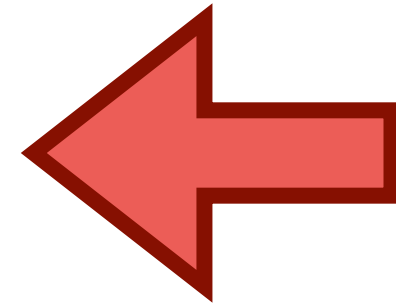
**Dr. Pablo Garcia Manau**  
**Dr. Ignasi Montoro Pacha**



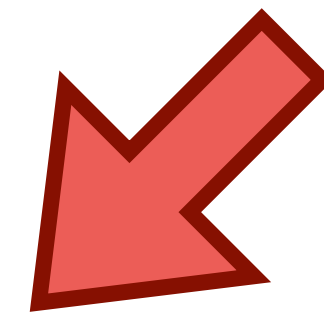
**SANT PAU**  
**Campus Salut**  
Barcelona

# Introducció

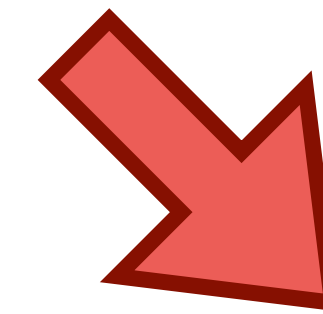
**PREECLÀMPSIA**



**ÒBIT**

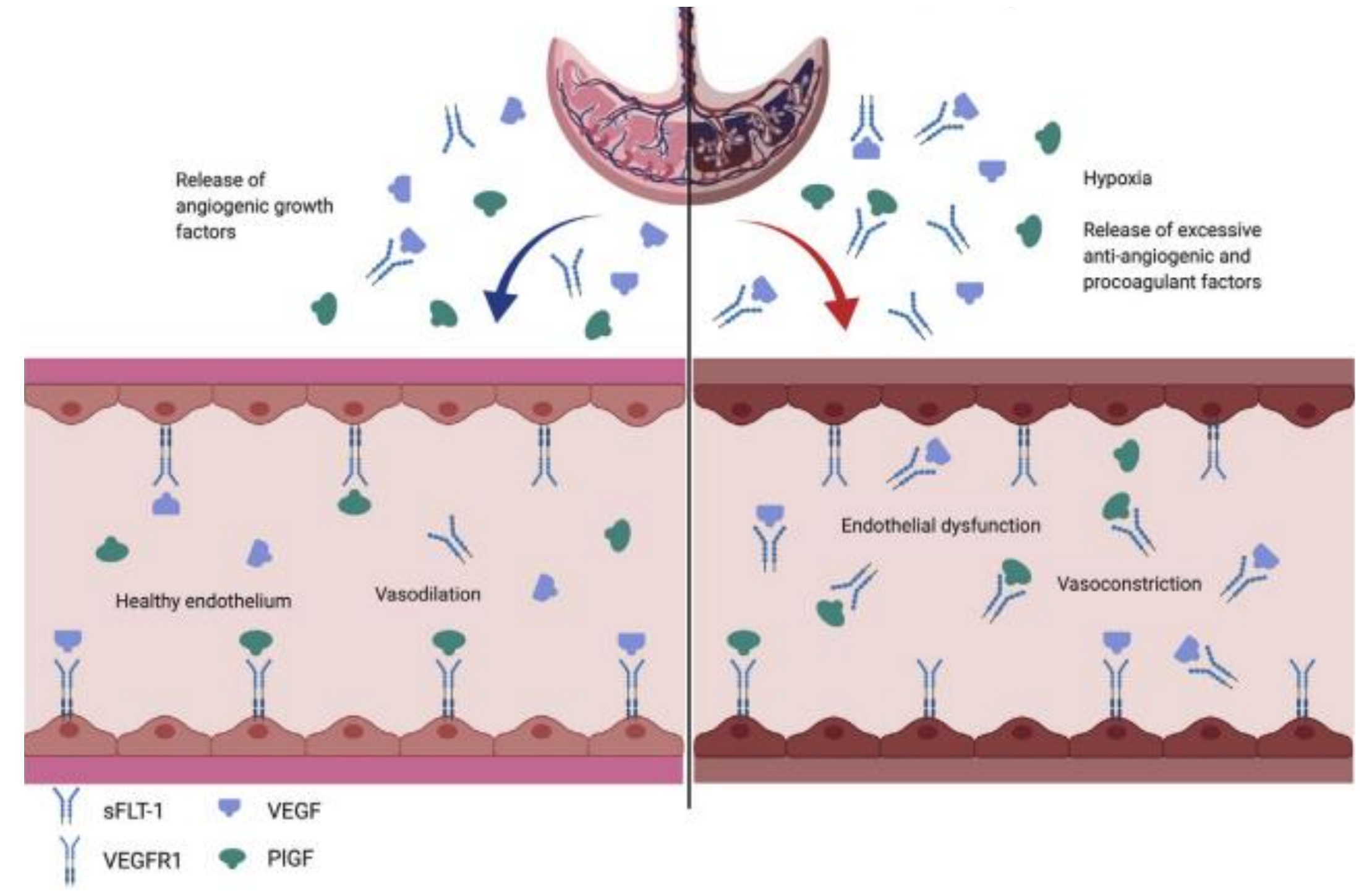
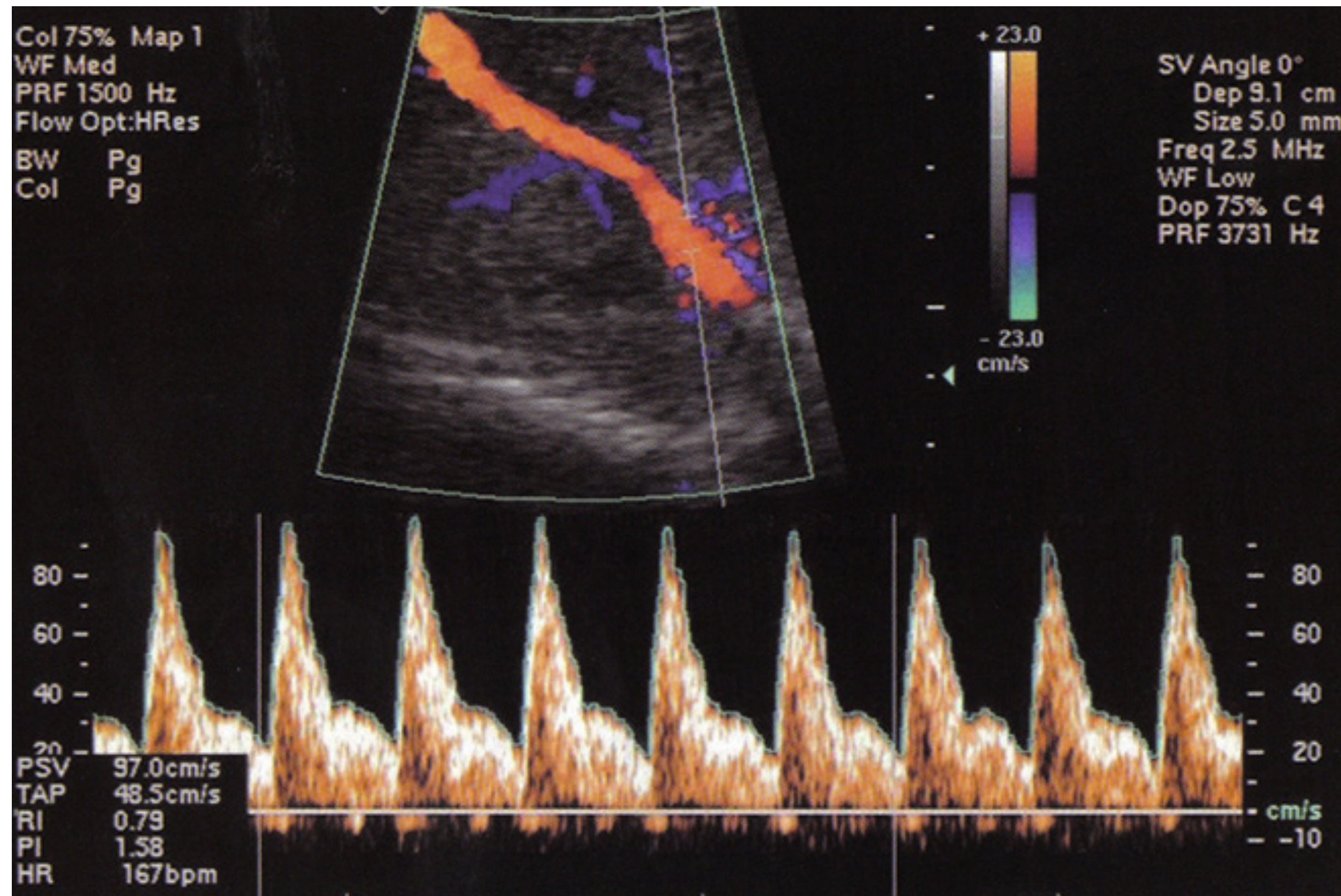


**CIR**



**DPPNI**

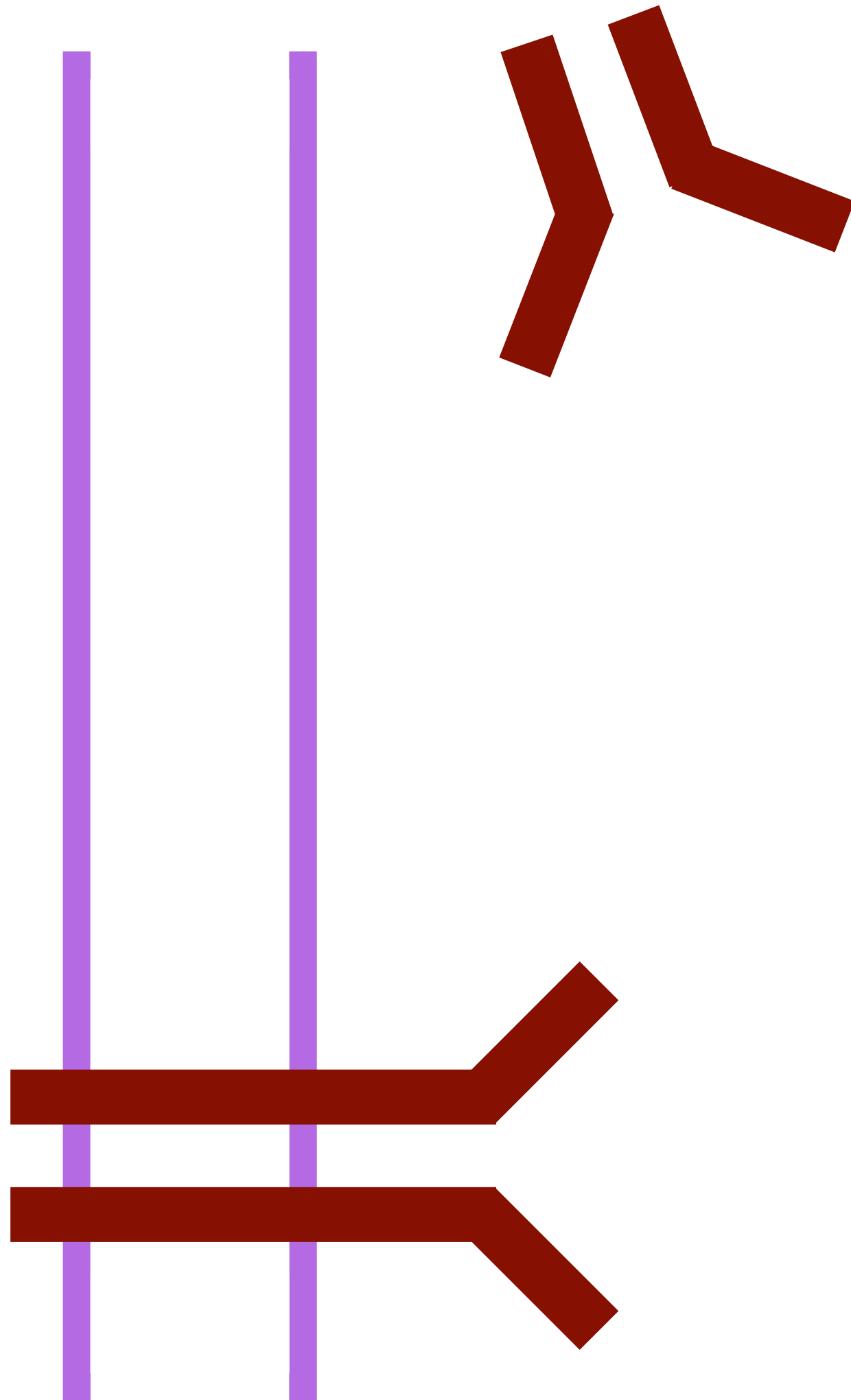
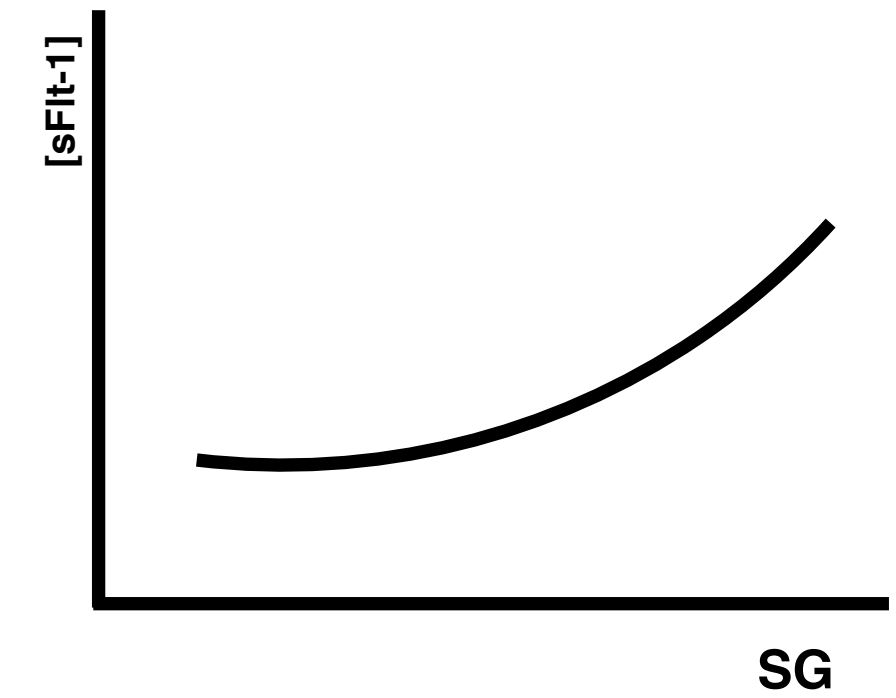
# Introducció



# Introducció

## sFlt-1

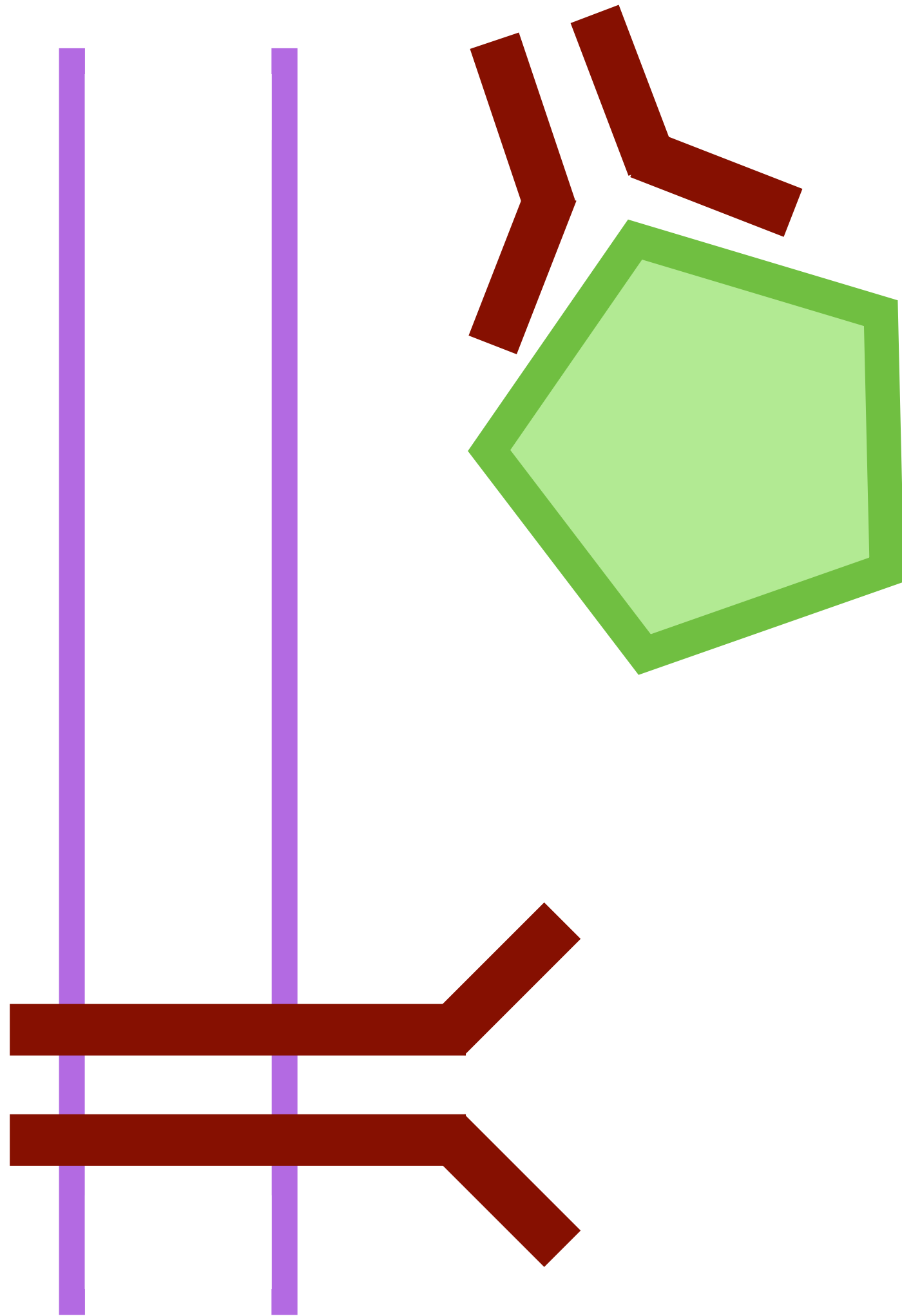
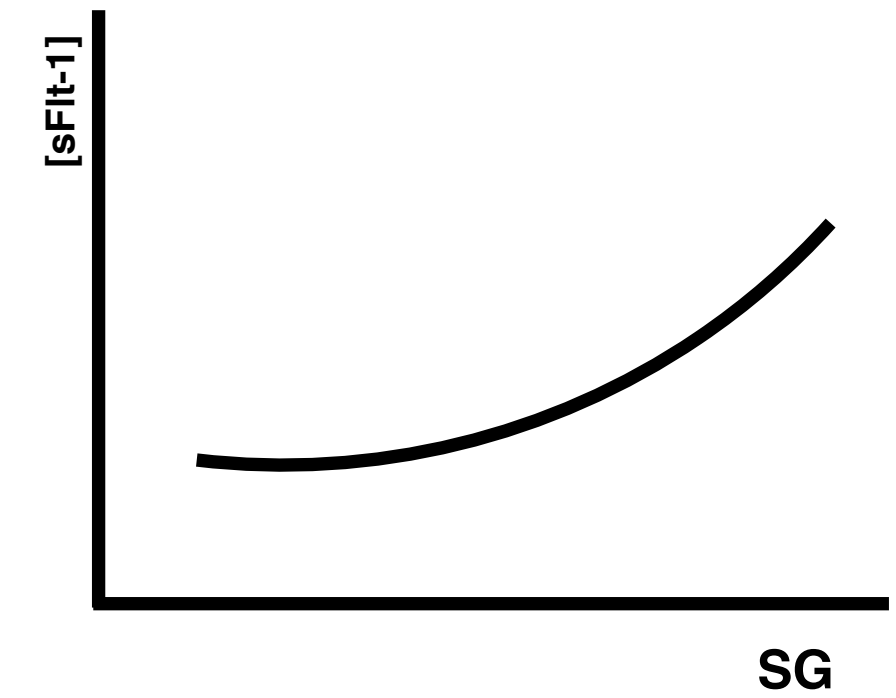
- Porció soluble del receptor del VEGF-R1
- Receptor “señuelo”
- Vasoconstricció
- Dany endotelial



# Introducció

## sFlt-1

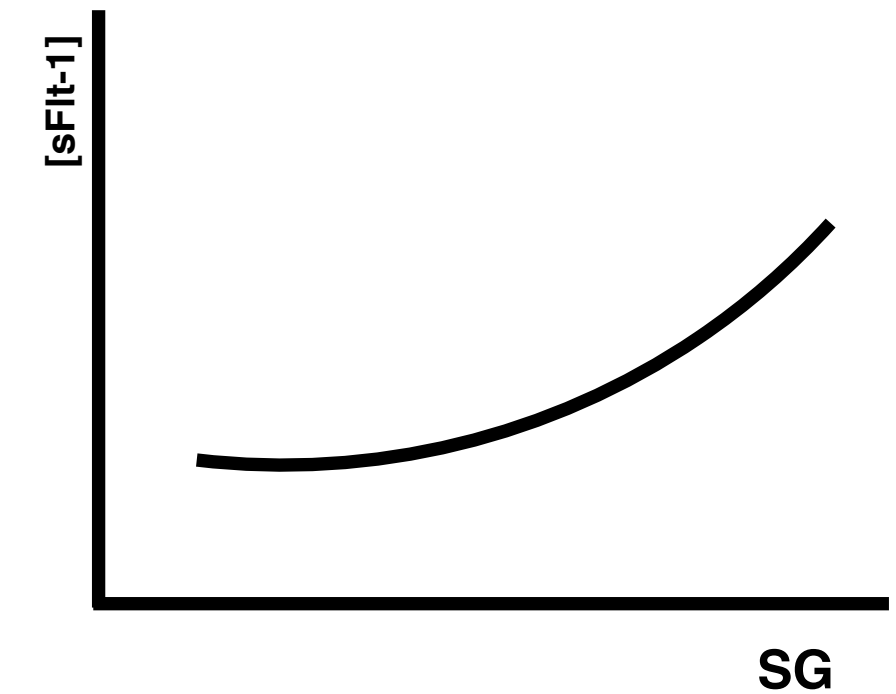
- Porció soluble del receptor del VEGF-R1
- Receptor “señuelo”
- Vasoconstricció
- Dany endotelial



# Introducció

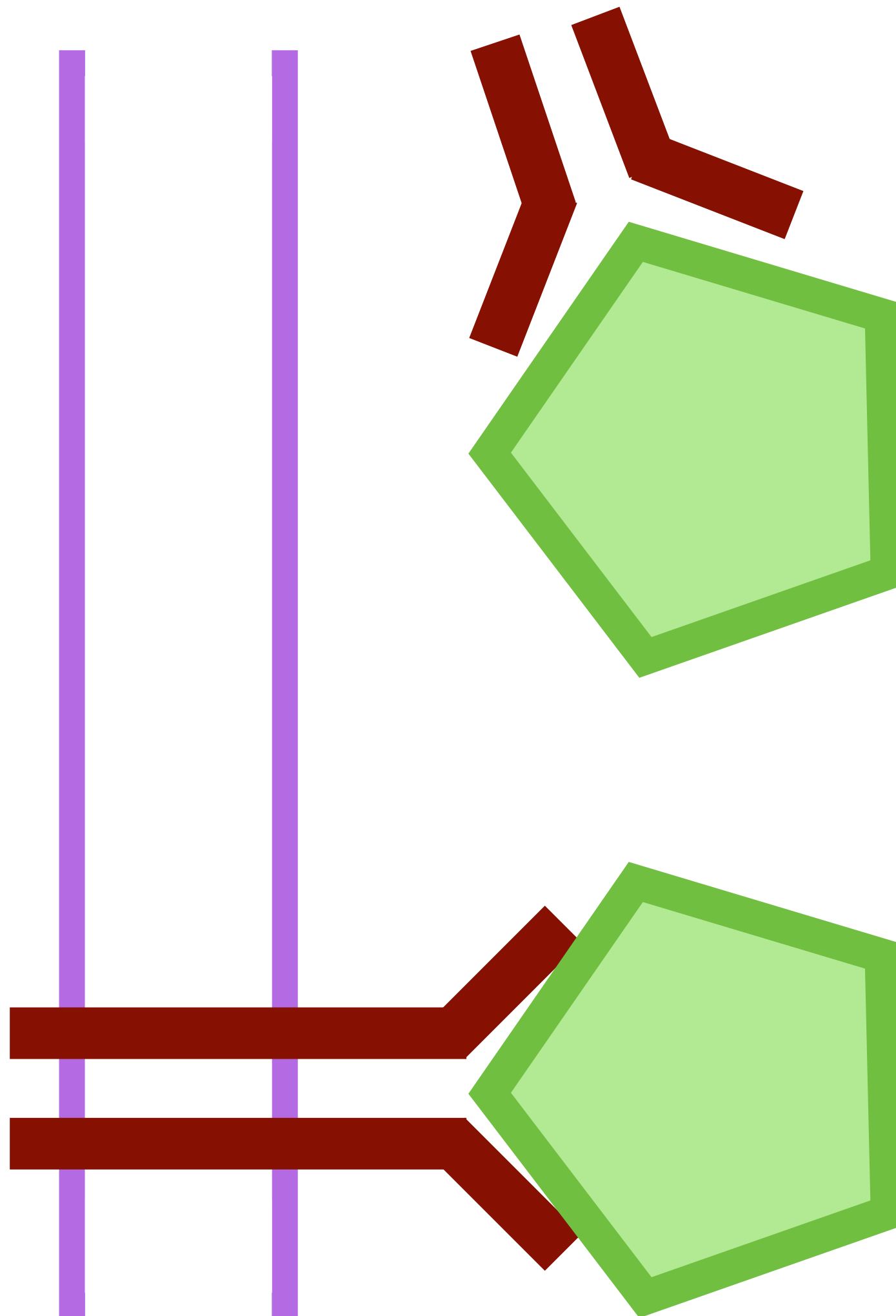
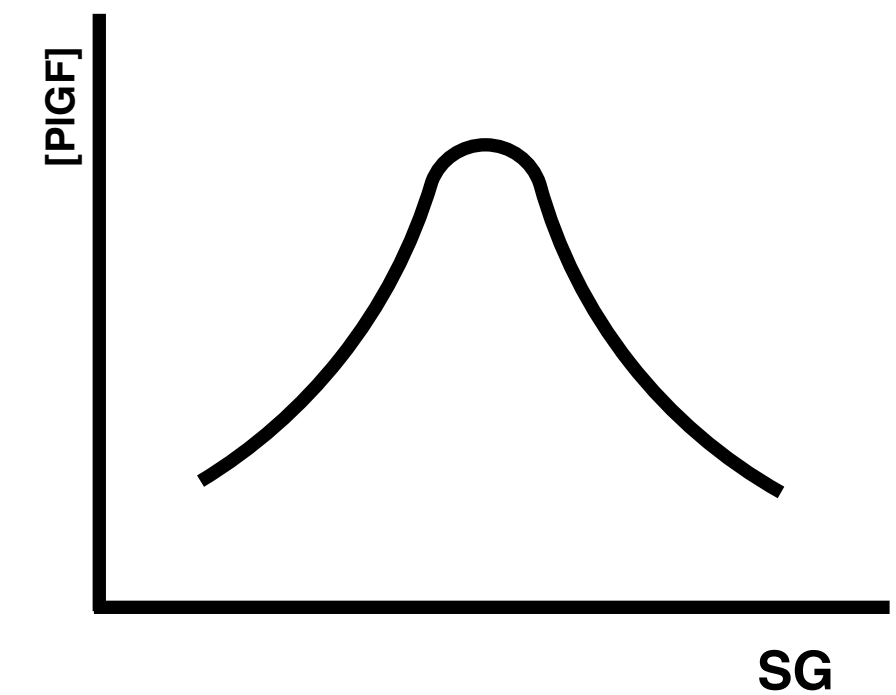
## sFlt-1

- Porció soluble del receptor del VEGF-R1
- Receptor “señuelo”
- Vasoconstricció
- Dany endotelial

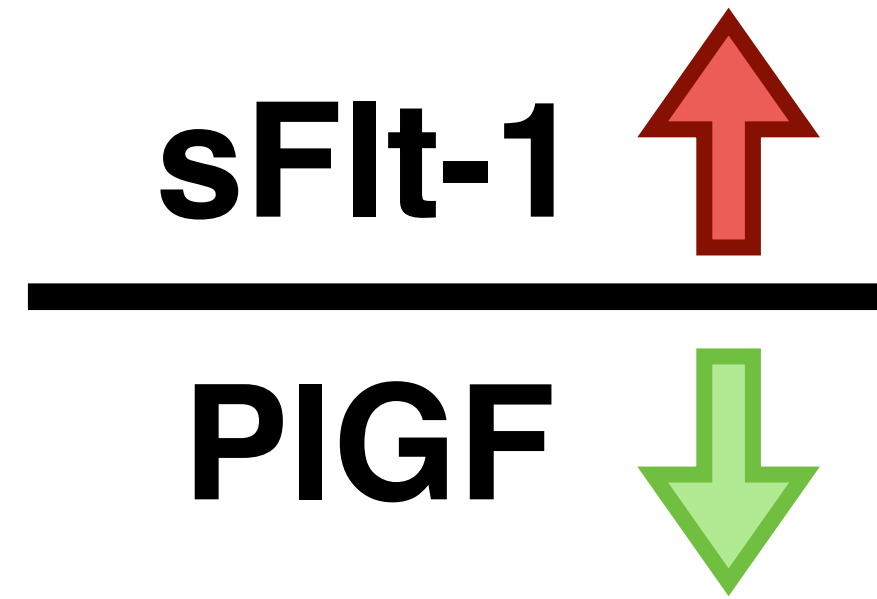
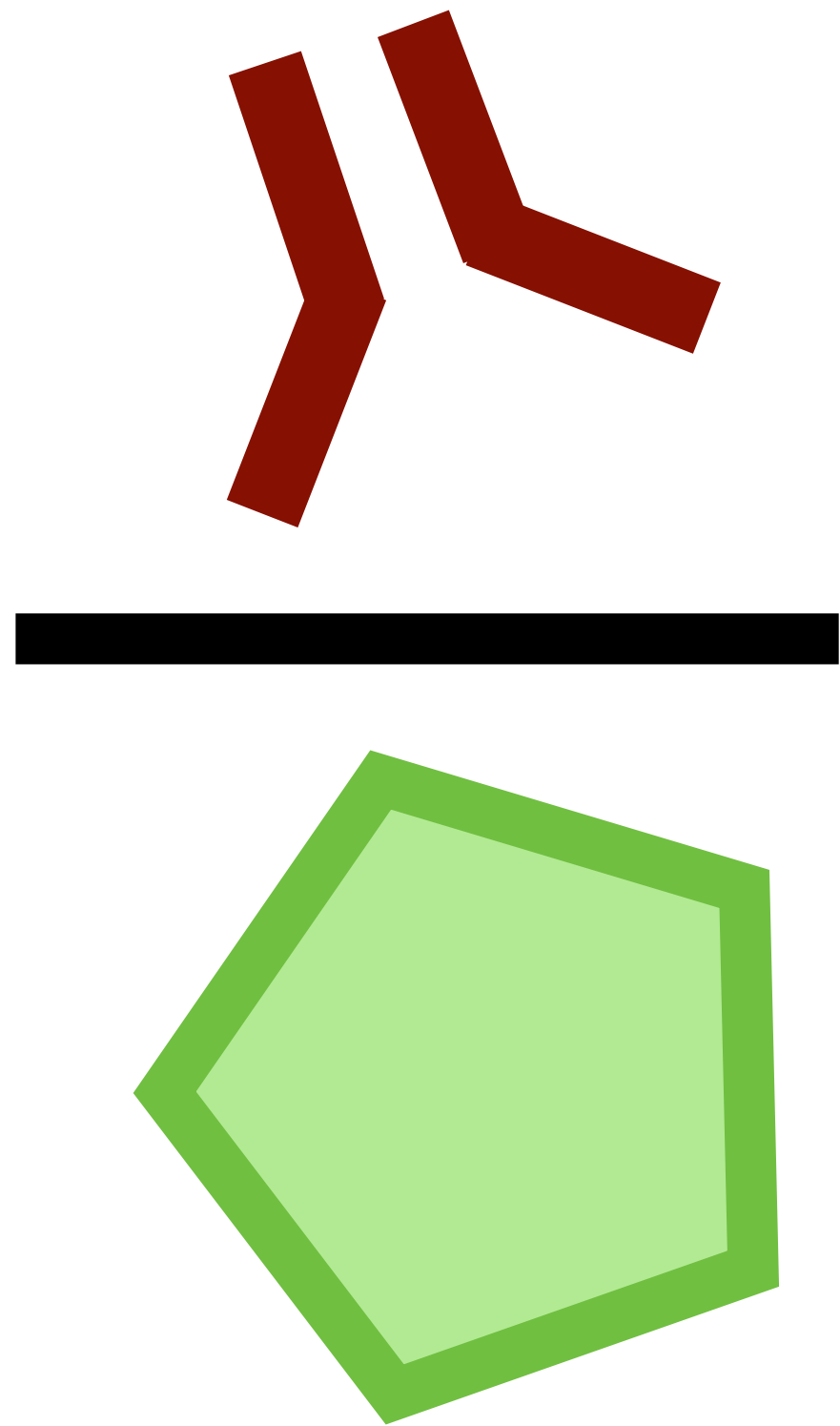


## PlGF

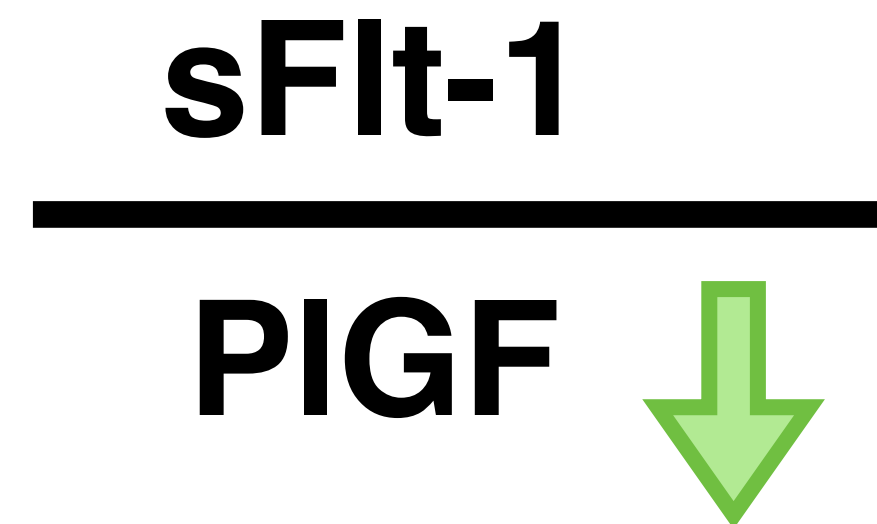
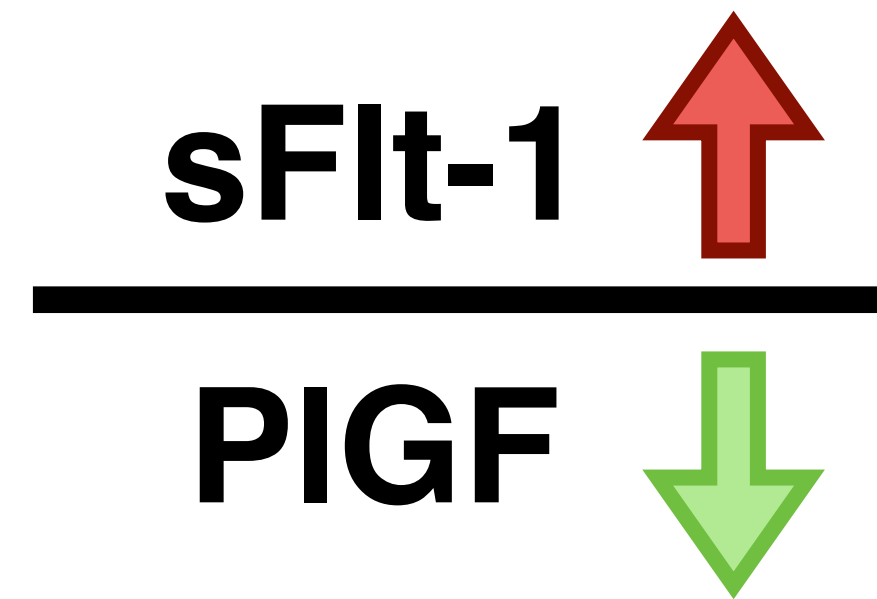
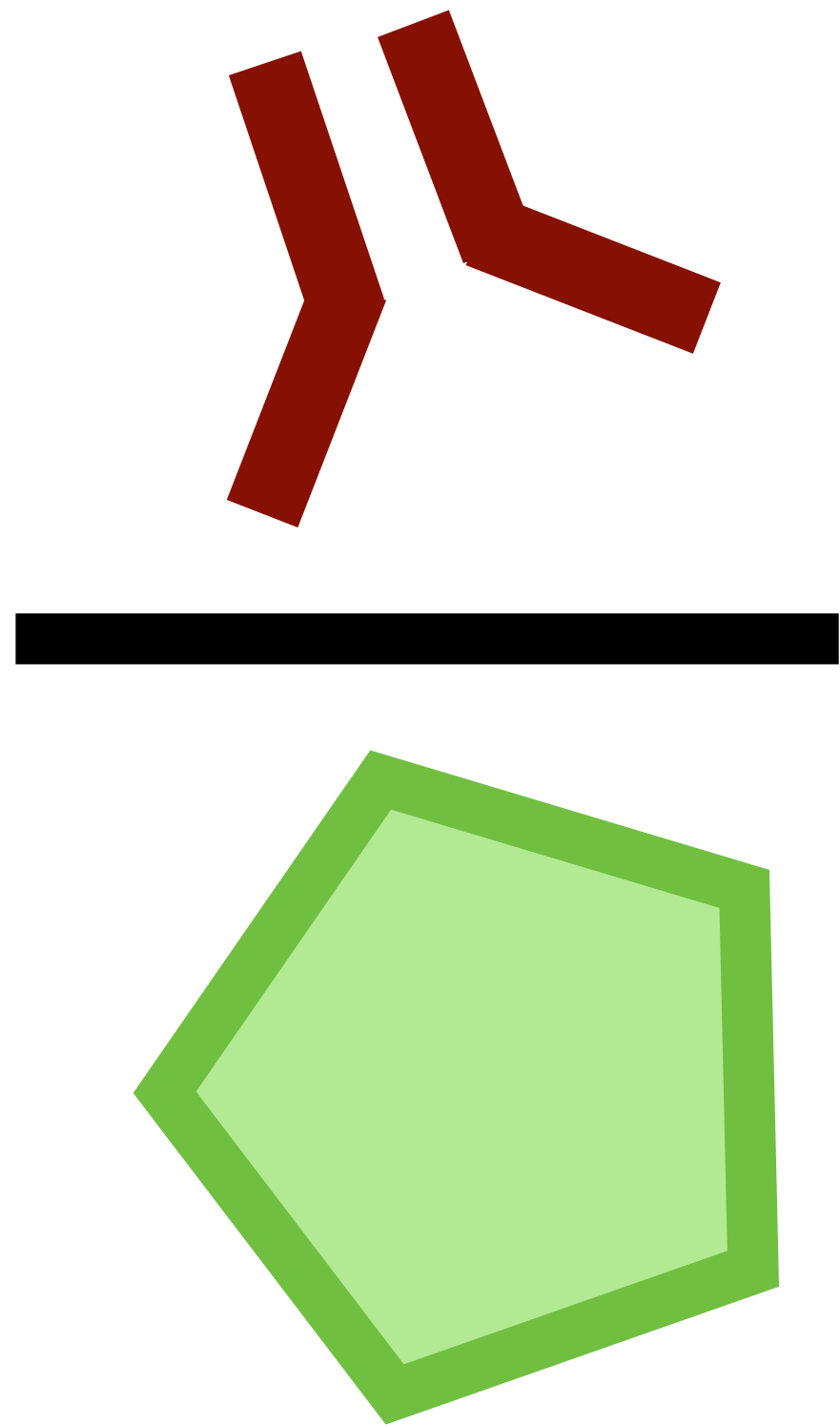
- Factor de creixement
- Proangiogènic
- Millora l'acció del VEGF-A



# Introducció

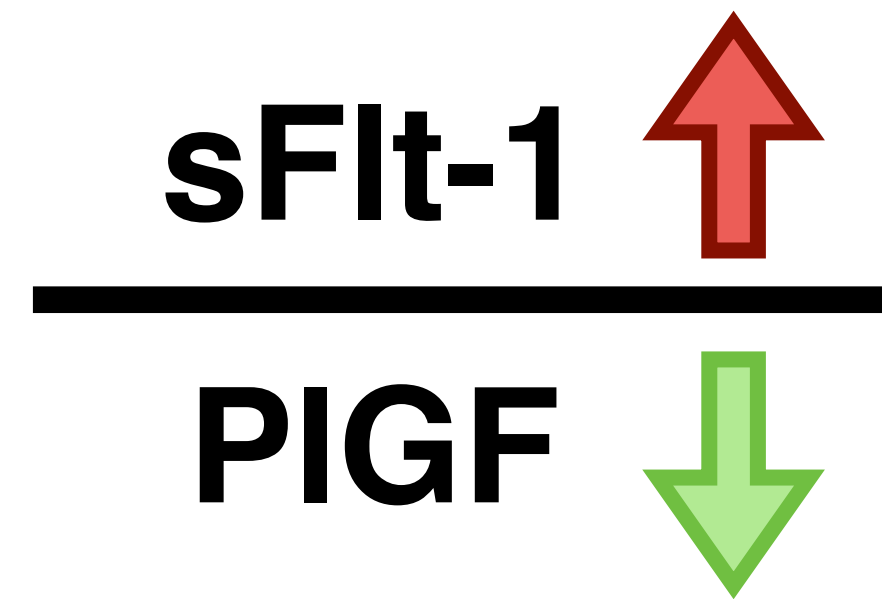
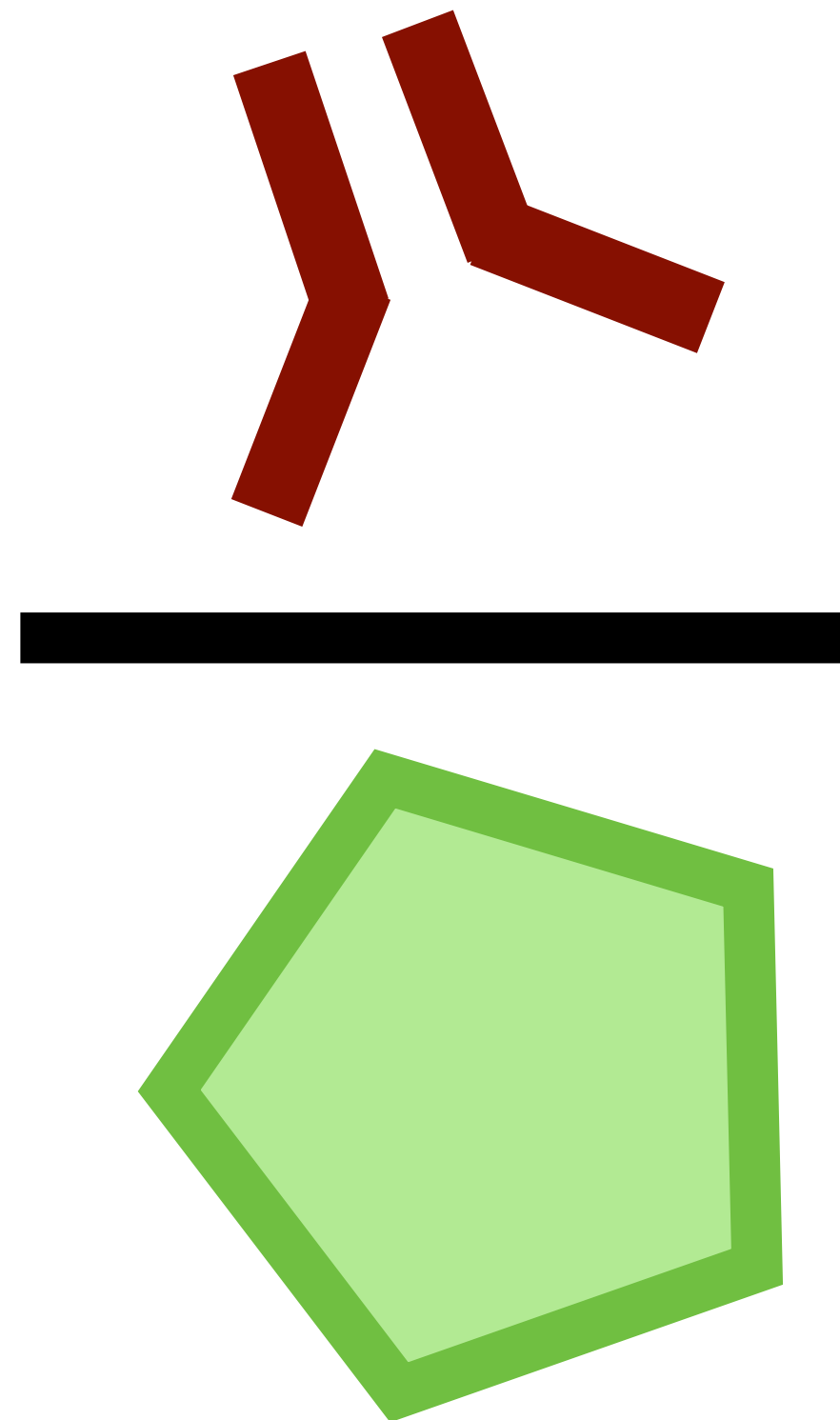


# Introducció





# Introducció



**PREECLÀMPSIA**



**CIR**

# Introducció



*The* **NEW ENGLAND**  
**JOURNAL** *of* **MEDICINE**

ESTABLISHED IN 1812

JANUARY 7, 2016

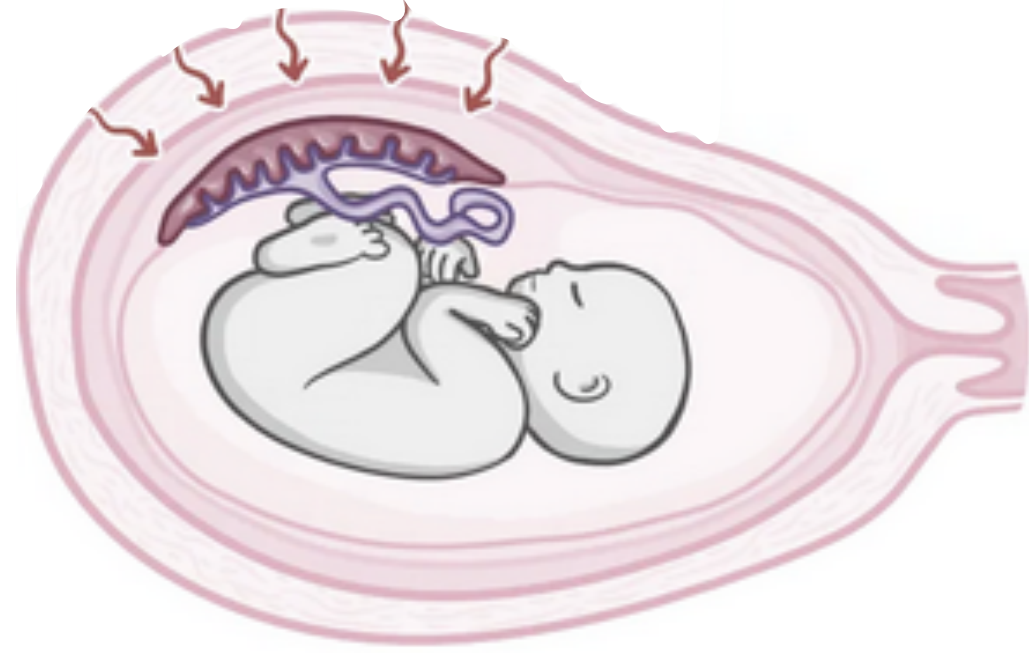
VOL. 374 NO. 1

## Predictive Value of the sFlt-1:PlGF Ratio in Women with Suspected Preeclampsia

Harald Zeisler, M.D., Elisa Llurba, M.D., Ph.D., Frederic Chantraine, M.D., Ph.D., Manu Vatish, M.B., Ch.B., D.Phil., Anne Cathrine Staff, M.D., Ph.D., Maria Sennström, M.D., Ph.D., Matts Olovsson, M.D., Ph.D., Shaun P. Brennecke, M.B., B.S., D.Phil., Holger Stepan, M.D., Deirdre Allegranza, B.A., Peter Dilba, M.Sc., Maria Schoedl, Ph.D., Martin Hund, Ph.D., and Stefan Verlohren, M.D., Ph.D.

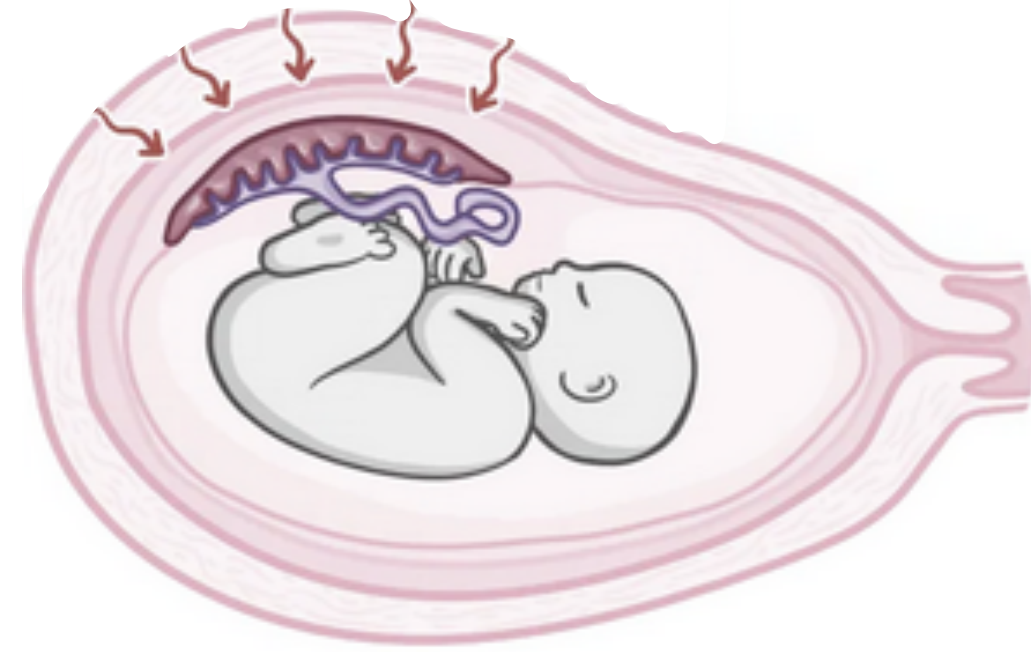
**38**

- VPN PE 1 setmana 98%
- VPN PE 4 setmanes 94%



# Introducció

	<b>CIR PRECOÇ (≤ 32 SG)</b>	<b>CIR TARDÀ (&gt; 32 SG)</b>
<b>Prevalença</b>	20-30%	70-80%
<b>Malaltia placentària</b>	SEVERA	Lleu
<b>Associació amb PE</b>	50%	10%
<b>Hipòxia</b>	Crònica	Aguda
<b>Latència a deteriorament</b>	Setmanes (Cascada alteracions Doppler)	Absència d'història natural
<b>Problema principal</b>	Maneig	Diagnòstic







# Introducció

	<b>CIR PRECOÇ (≤ 32 SG)</b>	<b>CIR TARDÀ (&gt; 32 SG)</b>
<b>Prevalença</b>	20-30%	70-80%
<b>Malaltia placentària</b>	SEVERA	Lleu
<b>Associació amb PE</b>	50%	10%
<b>Hipòxia</b>	Crònica	Aguda
<b>Latència a deteriorament</b>	Setmanes (Cascada alteracions Doppler)	Absència d'història natural
<b>Problema principal</b>	Maneig	Diagnòstic

# Evidència

## Diagnòstic

**Soluble fms-like tyrosine kinase to placental growth factor ratio in different stages of early-onset fetal growth restriction and small for gestational age**

Pablo Garcia-Manau  | Manel Mendoza  | Erika Bonacina |  
Carmen Garrido-Gimenez | Antoni Fernandez-Oliva  | Julia Zanini  |  
Marina Catalan | Helena Tur | Berta Serrano | Elena Carreras

## Seguiment

**Angiogenic factors for planning fetal surveillance in fetal growth restriction and small-for-gestational-age fetuses: A prospective observational study**

Erika Bonacina  | Manel Mendoza  | Alba Farràs  | Pablo Garcia-Manau  |  
Berta Serrano  | Ivan Hurtado  | Raquel Ferrer-Oliveras  | Lidia Illan |  
Mireia Armengol-Alsina  | Elena Carreras 



## Pronòstic

**Longitudinal change of sFlt-1/PIGF ratio in singleton pregnancy with early-onset fetal growth restriction**

I. Herraiz  M. S. Quezada, J. Rodriguez-Calvo, E. Gómez-Montes, C. Villalaín, A. Galindo

First published: 06 September 2017 | <https://doi.org/10.1002/uog.18894> | Citations: 47

**Prediction of preterm birth in women with fetal growth restriction – Is the weekly change in sFlt-1/PIGF ratio or PIGF levels useful?**

Jesrine Hong<sup>1,2,3</sup>  | Kylie Crawford<sup>1,2</sup> | Erika Cavanagh<sup>1</sup> | Vicki Clifton<sup>1</sup> |  
Sailesh Kumar<sup>1,2,4</sup> 

**ULTRASOUND**  
in Obstetrics & Gynecology











Original Paper |  Open Access |    

**Perinatal survival counseling of early-onset fetal growth restriction with placental growth factor**

J. Rodríguez-Calvo, C. Villalaín  P. I. Gómez-Arriaga, M. S. Quezada, I. Herraiz, A. Galindo

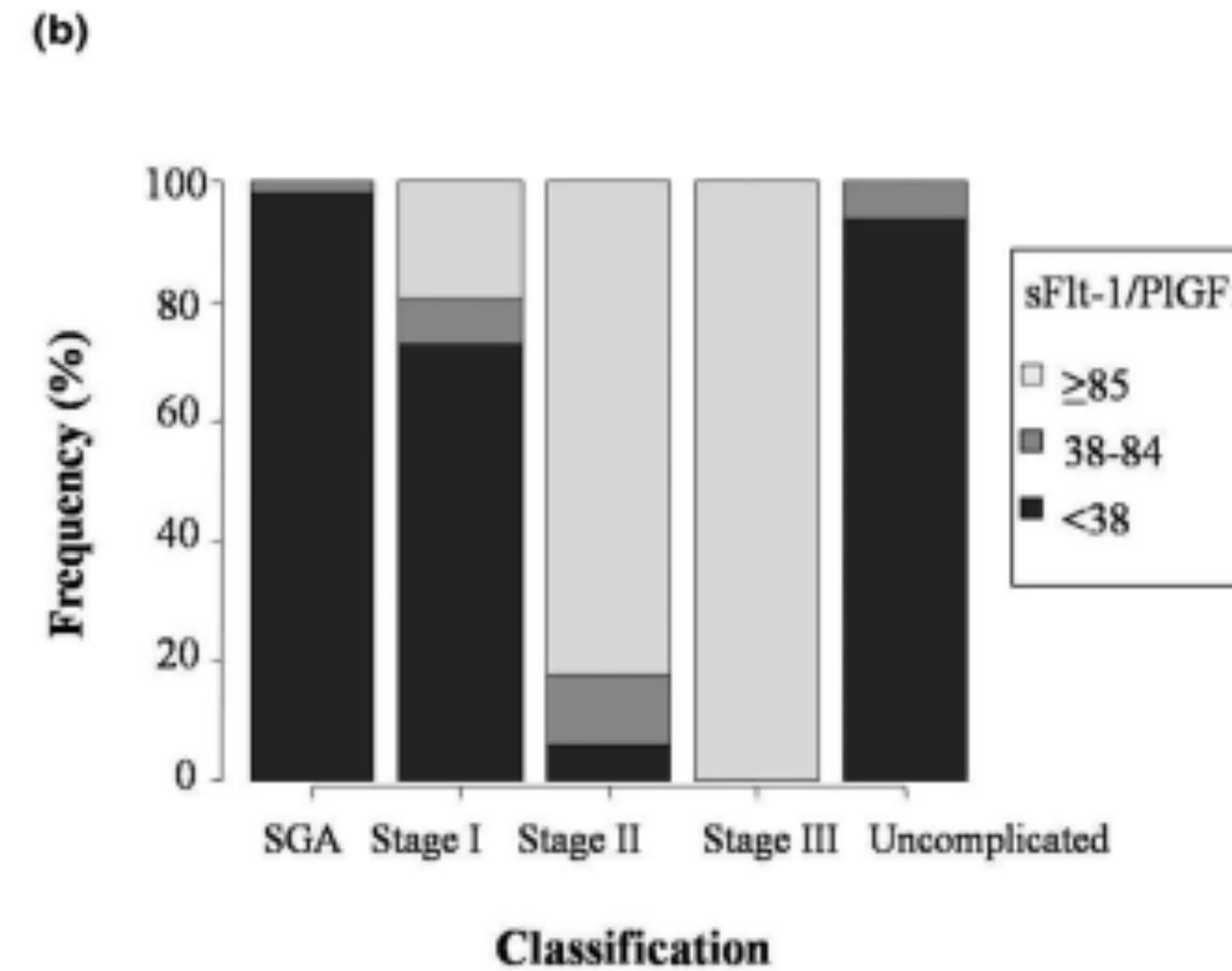
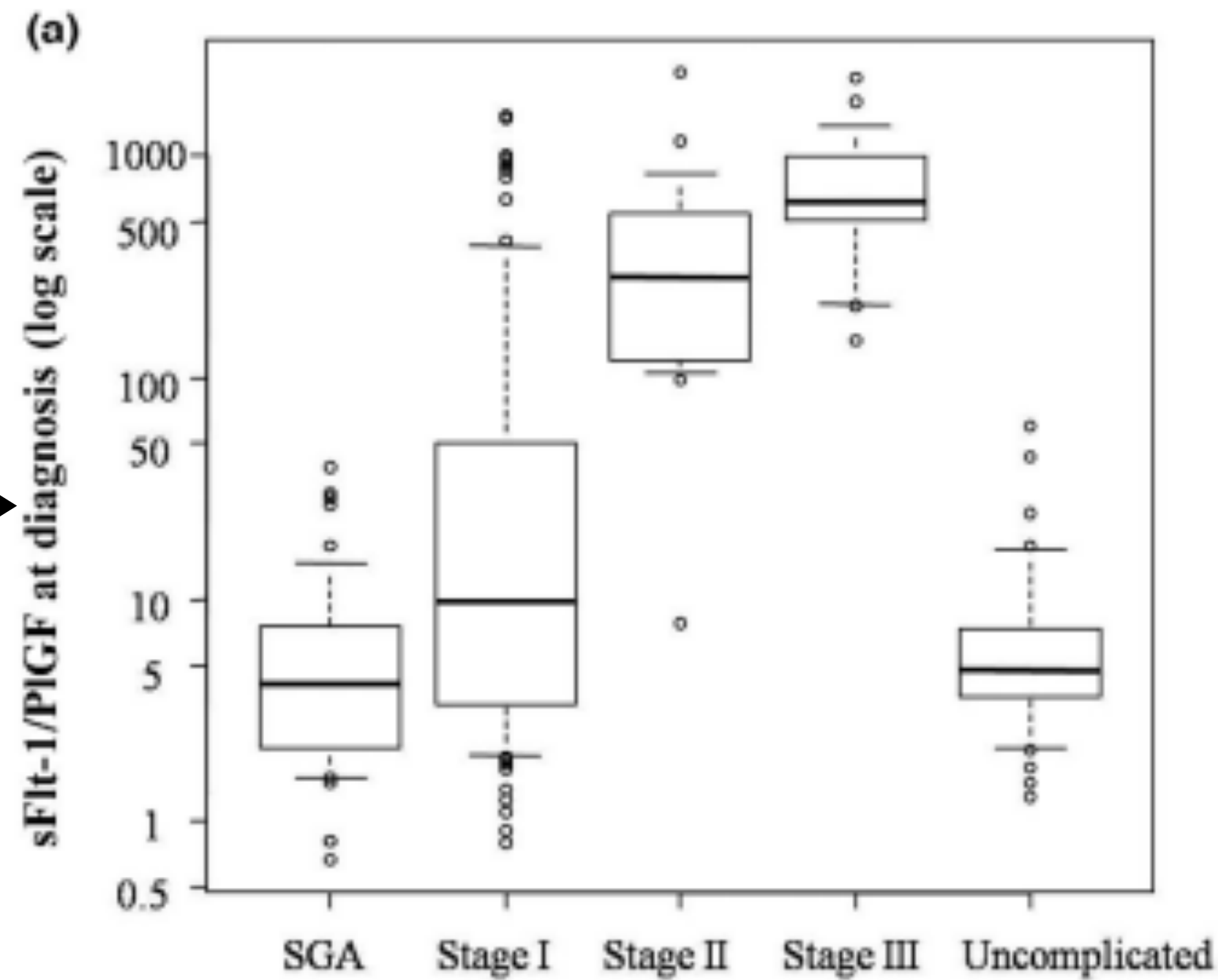
First published: 12 November 2022 | <https://doi.org/10.1002/uog.26116>

**Individual risk assessment for prenatal counseling in early-onset growth-restricted and small-for-gestational-age fetuses**

Manel Mendoza  | Ivan Hurtado  | Erika Bonacina  | Pablo Garcia-Manau  |  
Berta Serrano  | Helena Tur  | Carlota Rodo  | Nerea Maiz  | Elena Carreras

# sFlt-1/PlGF & Doppler en CIR precoç

Punts de tall RFA segons referències de PE



## 20 - 31+6 SG

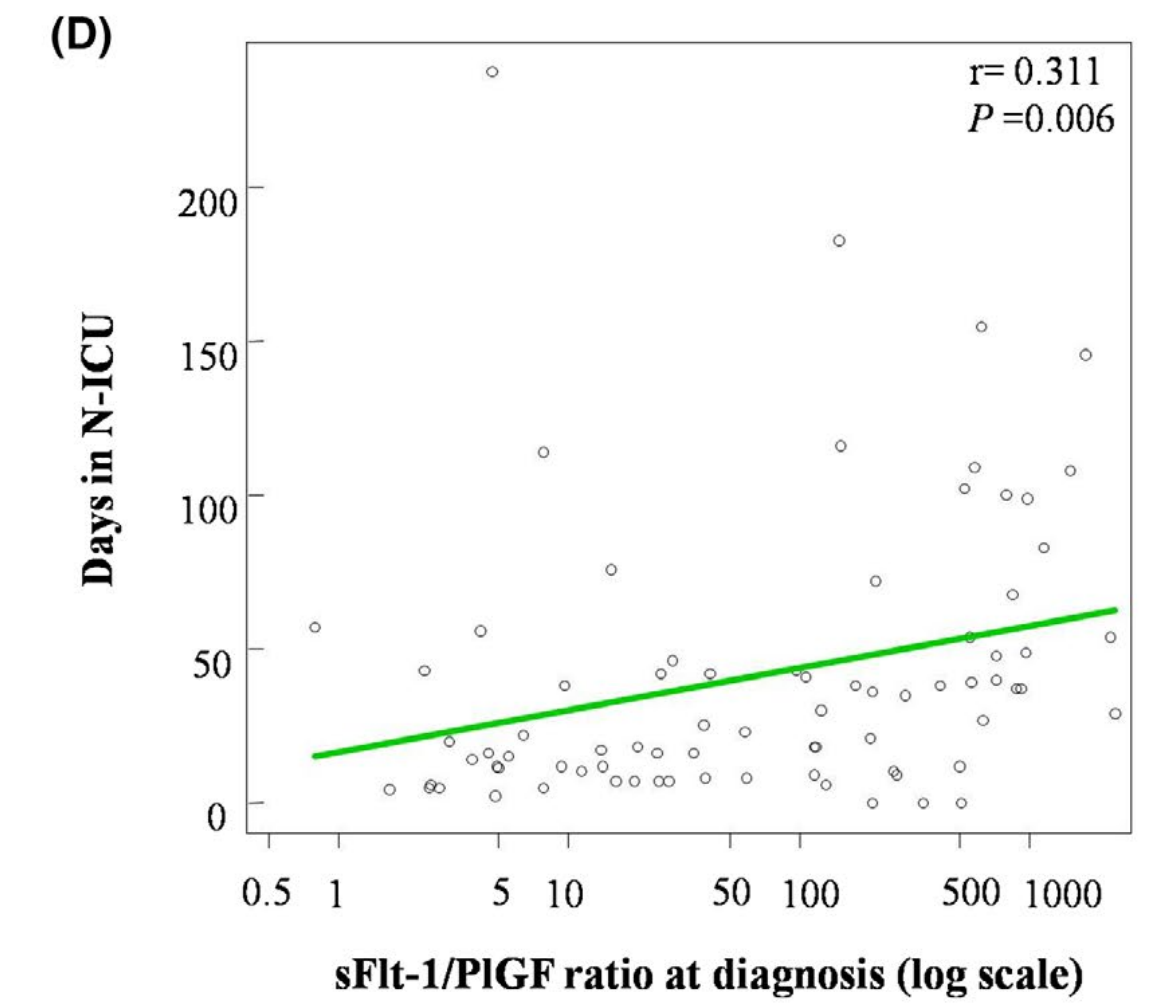
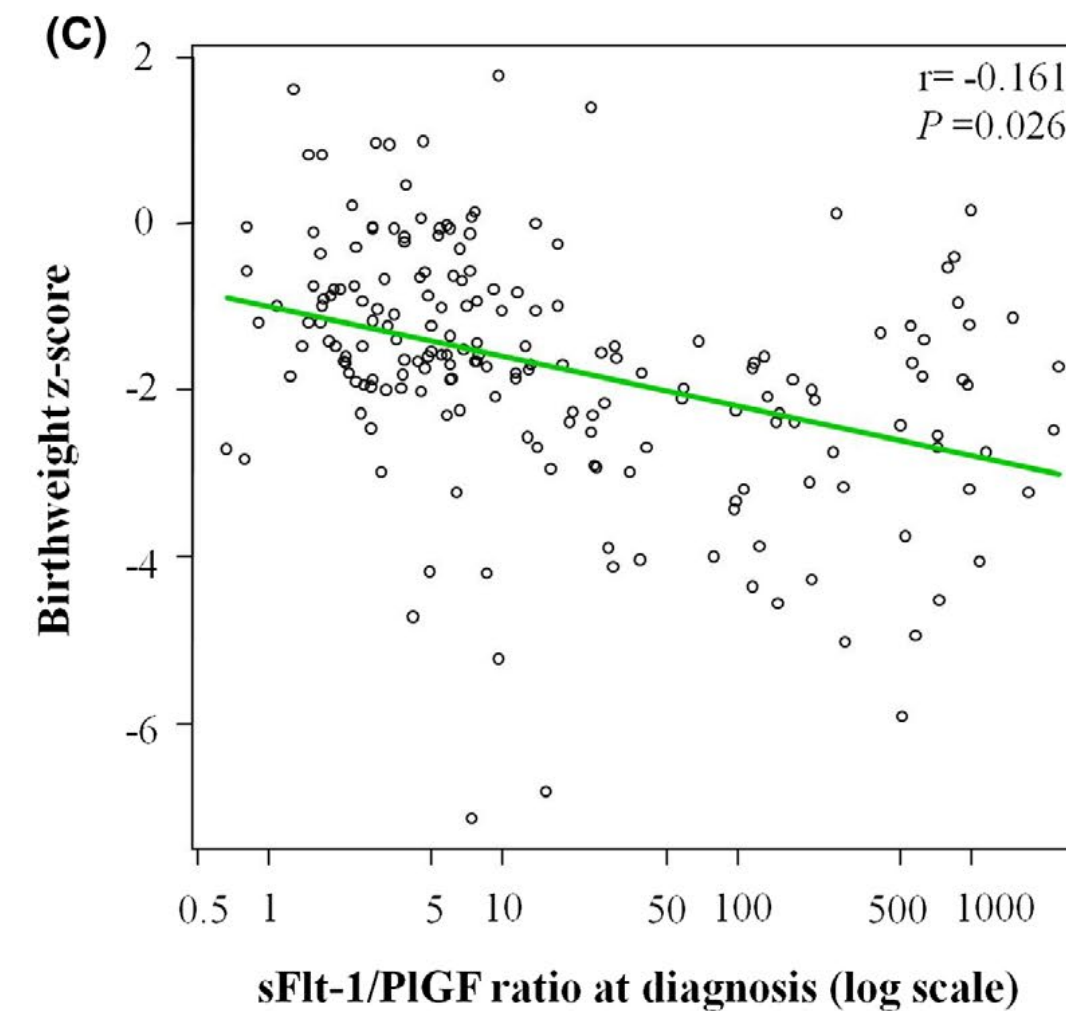
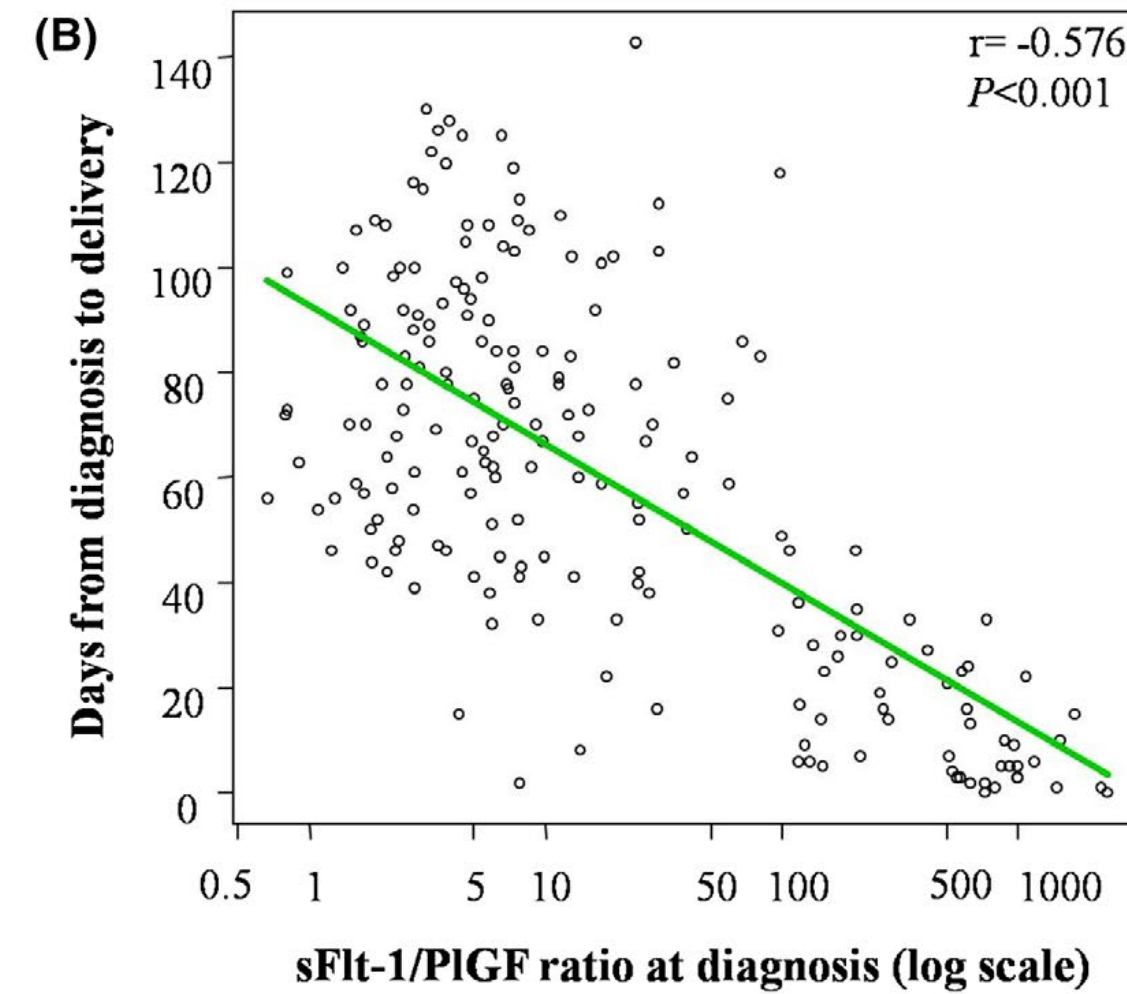
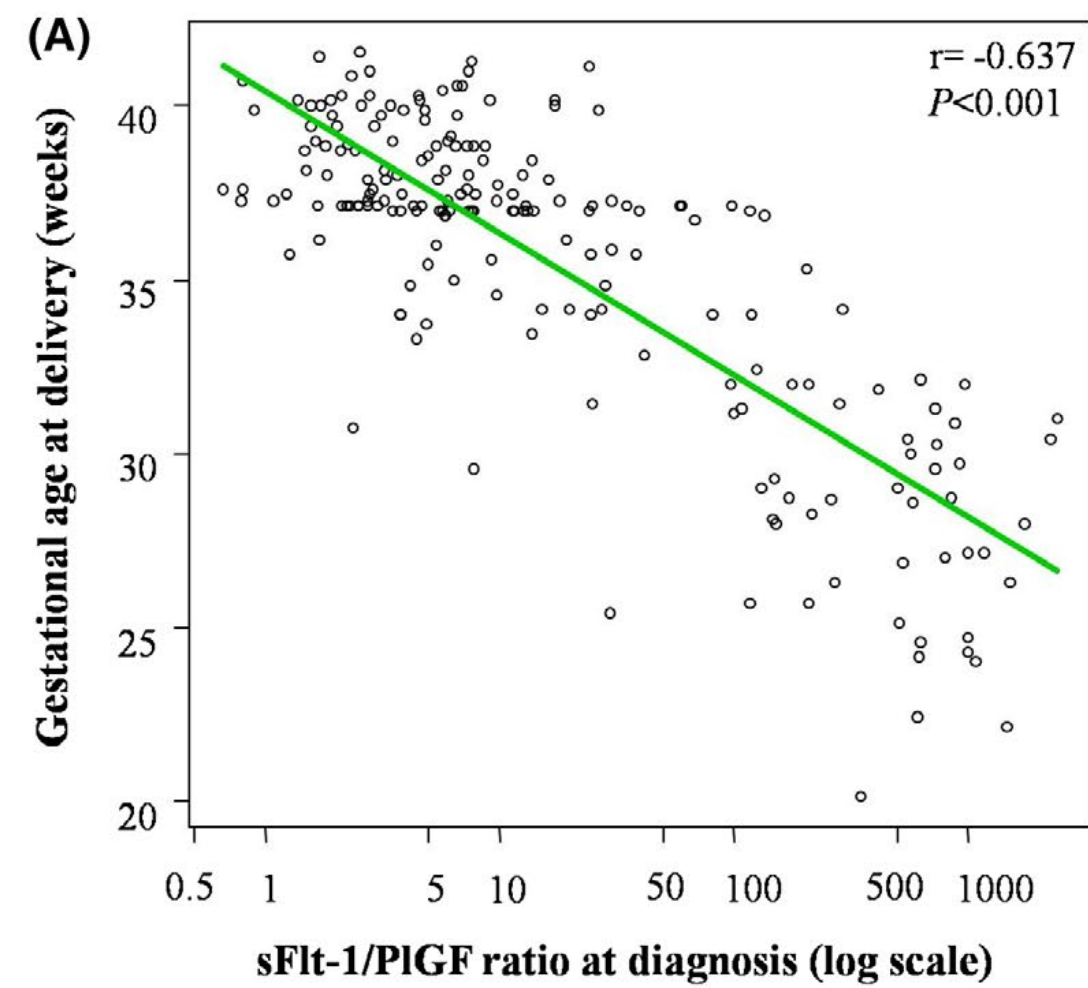
- Casos n = 175 <p10
- Controls n = 32 >p10 + sense PE
- Relació Classificació CIR segons Doppler i sFlt-1/PlGF

- CIRs valors significativament majors a PEGs i controls
- A major severitat, més alt sFlt-1/PlGF
- Elevada dispersió sFlt-1/PlGF en CIR tipus 1

# sFlt-1/PlGF & Doppler en CIR precoç

	Uncomplicated (n = 32)	SGA (n = 49)	Stage I (n = 92)	Stage II (n = 17)	Stage III (n = 17)
Gestational age (wk) at diagnosis	25.7 (23.2-27.5)	27.1 (24.2-29.7)	25.8 (23.6-29.1)	26.0 (25.0-29.1)	25.0 (24.0-26.4)
PE at diagnosis	0 <sup>e</sup>	0 <sup>e</sup>	7 (7.6%)	3 (17.6%)	5 (29.4%) <sup>a,b</sup>
Ratio sFlt-1 to PlGF	4.79 (3.71-7.34) <sup>c,d,e</sup>	4.14 (2.12-7.42) <sup>c,d,e</sup>	9.76 (3.42-45.71) <sup>a,b,d,e</sup>	284.30 (119.11-550.40) <sup>a,b,c,e</sup>	625.02 (508.83-989.99) <sup>a,b,c,d</sup>
Ratio sFlt-1 to PlGF in cases without PE at diagnosis	4.79 (3.71-7.34) <sup>c,d,e</sup>	4.14 (2.12-7.42) <sup>c,d,e</sup>	7.80 (2.78-29.54) <sup>a,b,d,e</sup>	272.13 (118.78-461.47) <sup>a,b,c,e</sup>	591.42 (435.36-798.86) <sup>a,b,c,d</sup>
Ratio sFlt-1 to PlGF categories					
➔ <38	30 (93.8%) <sup>d,e</sup>	48 (98.0%) <sup>c,d,e</sup>	67 (72.9%) <sup>b,d,e</sup>	1 (5.9%) <sup>a,b,c</sup>	0 <sup>a,b,c</sup>
38-84	2 (6.2%)	1 (2.0%)	5 (5.4%)	1 (5.9%)	0
➔ ≥85	0 <sup>b,c,d,e</sup>	0 <sup>a,c,d,e</sup>	20 (21.7%) <sup>a,b,d,e</sup>	15 (88.2%) <sup>a,b,c</sup>	17 (100.0%) <sup>a,b,c</sup>
Mean uterine artery Doppler >95th centile	4 (12.5%) <sup>c,d,e</sup>	0 <sup>c,d,e</sup>	64 (69.6%) <sup>a,b,e</sup>	13 (76.5%) <sup>a,b</sup>	17 (100.0%) <sup>a,b,c</sup>

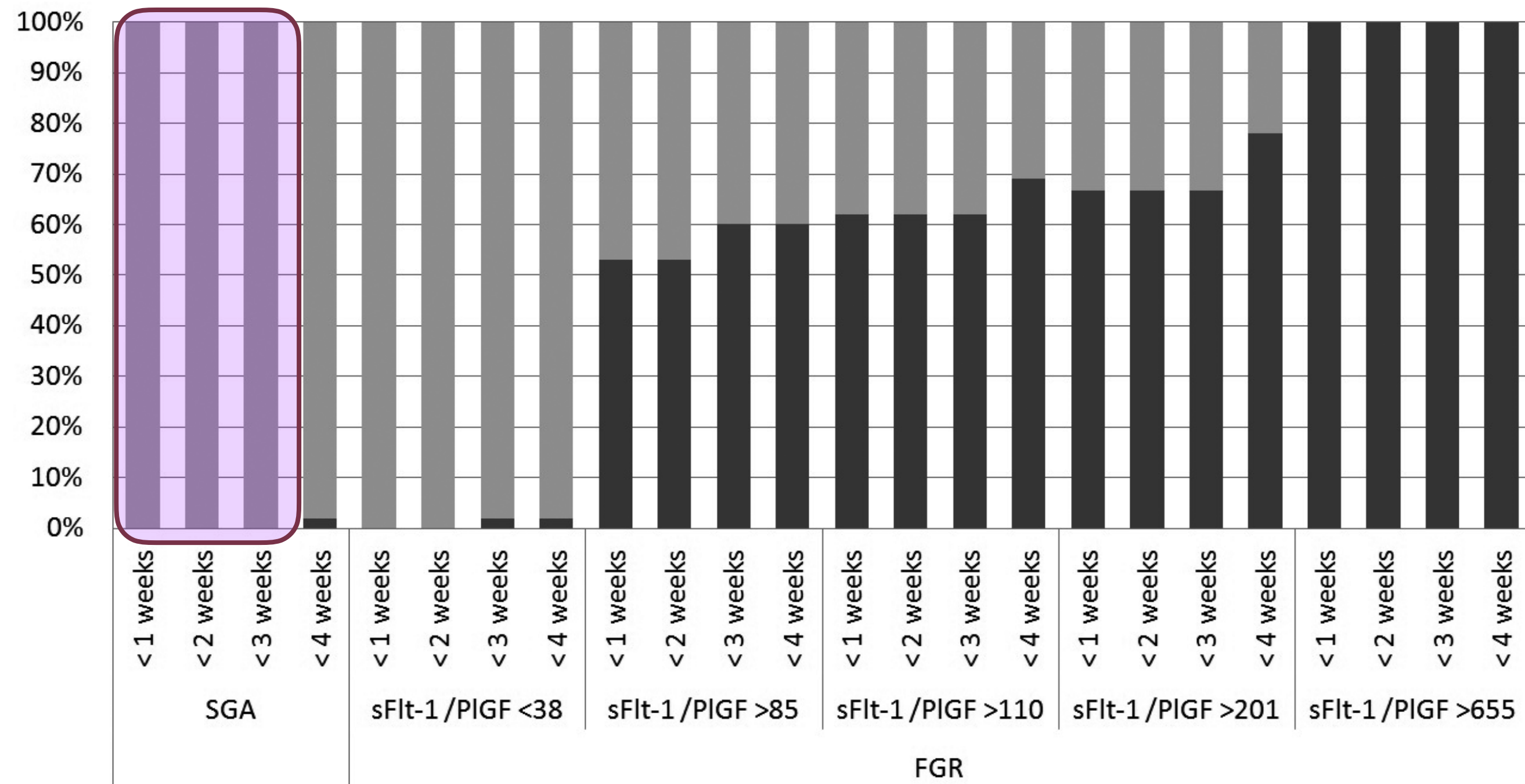
# sFlt-1/PlGF & Doppler en CIR precoç





# sFlt-1/PlGF i seguiment en CIR precoç

Weeks from diagnosis to delivery in SGA and FGR



	SGA (n = 48)	FGR (n = 86)
sFlt-1/PlGF	3.95 (2.11–7.53)	7.80 (2.89–28.9)
<38	48 (100%)	67 (77.9%)
>85	0	15 (17.4%)
>110	0	13 (15.1%)
>201	0	8 (9.3%)
>655	0	6 (7.0%)

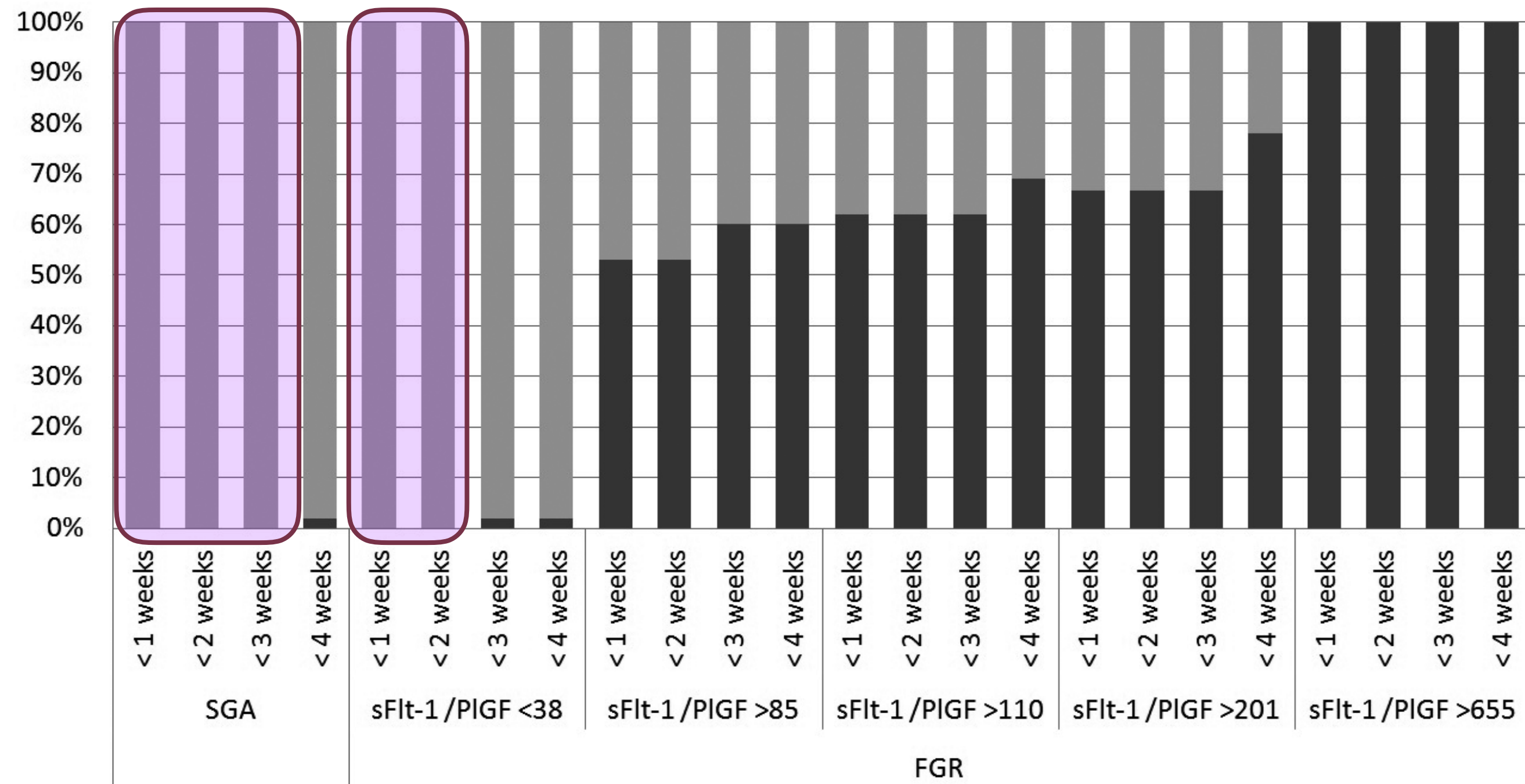
**PEG + sFlt1/PlGF <38 → VPN 100% Part 3 set**

**20 - 31+6 SG**

- n = 134 <p10 amb Diàstole + en AU (86 CIR i 48 PEG)
- Estudi prospectiu observacional

# sFlt-1/PlGF i seguiment en CIR precoç

Weeks from diagnosis to delivery in SGA and FGR



	SGA (n = 48)	FGR (n = 86)
sFlt-1/PlGF	3.95 (2.11–7.53)	7.80 (2.89–28.9)
<38	48 (100%)	67 (77.9%)
>85	0	15 (17.4%)
>110	0	13 (15.1%)
>201	0	8 (9.3%)
>655	0	6 (7.0%)

**PEG + sFlt1/PlGF <38 → VPN 100% Part 3 set**

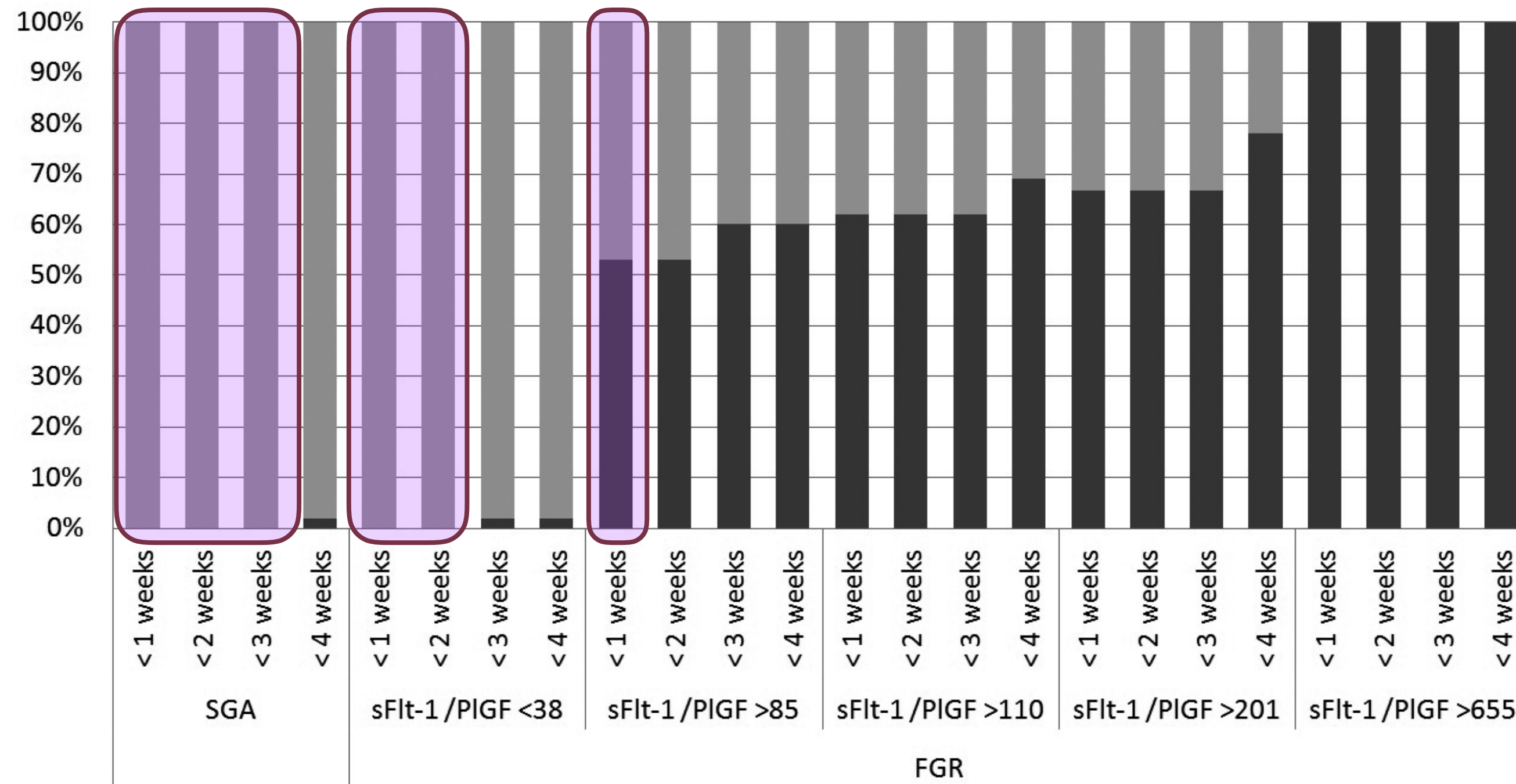
**CIR + sFlt1/PlGF <38 → VPN 100% Part 2 set**

**20 - 31+6 SG**

- n = 134 <p10 amb Diàstole + en AU (86 CIR i 48 PEG)
- Estudi prospectiu observacional

# sFlt-1/PlGF i seguiment en CIR precoç

Weeks from diagnosis to delivery in SGA and FGR



	SGA (n = 48)	FGR (n = 86)
sFlt-1/PlGF	3.95 (2.11–7.53)	7.80 (2.89–28.9)
<38	48 (100%)	67 (77.9%)
>85	0	15 (17.4%)
>110	0	13 (15.1%)
>201	0	8 (9.3%)
>655	0	6 (7.0%)

**PEG + sFlt1/PlGF <38 → VPN 100% Part 3 set**

**CIR + sFlt1/PlGF <38 → VPN 100% Part 2 set**

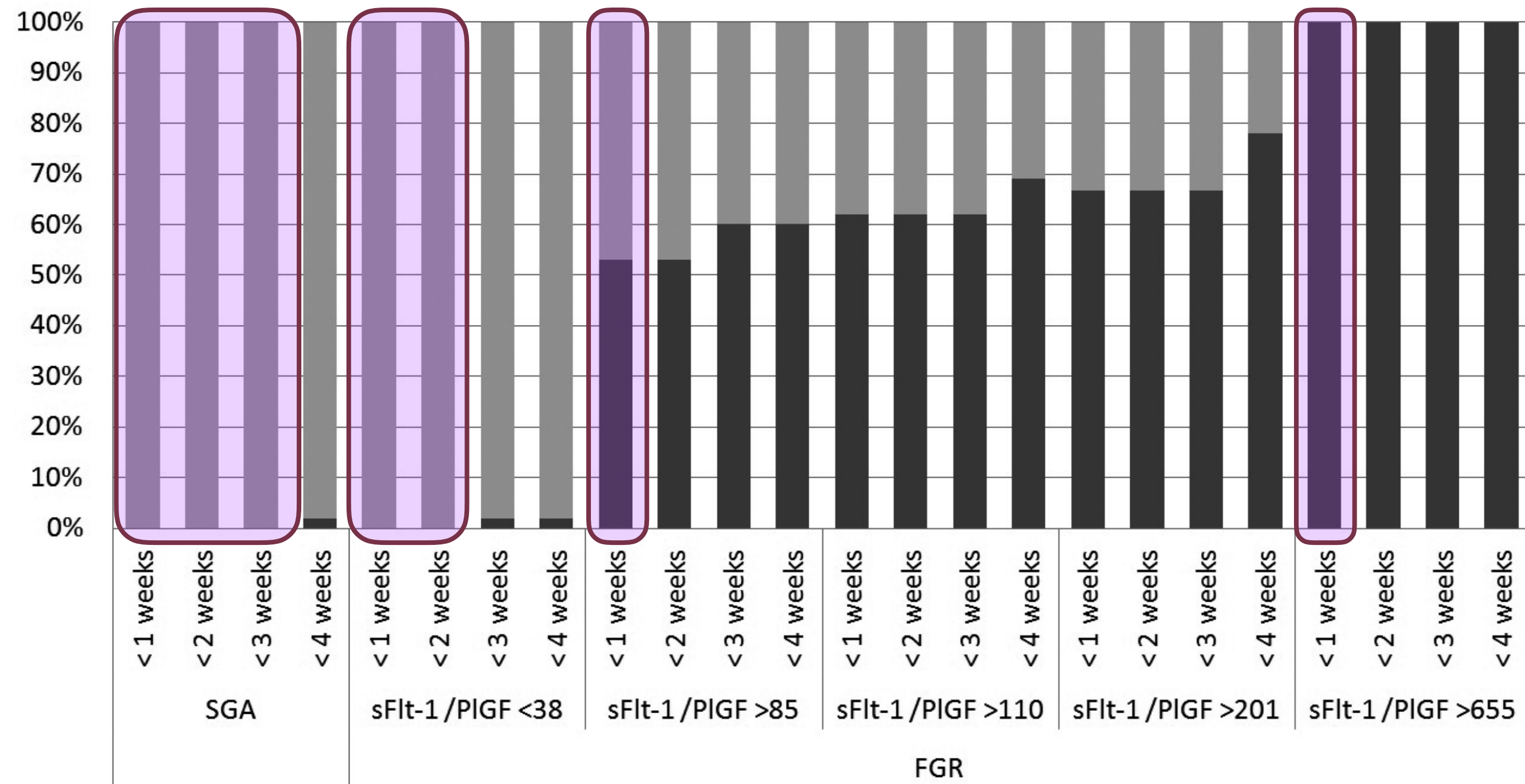
**CIR + sFlt1/PlGF >85 → VPP 53% Part 1 set**

**20 - 31+6 SG**

- n = 134 <p10 amb Diàstole + en AU (86 CIR i 48 PEG)
- Estudi prospectiu observacional

# sFlt-1/PlGF i seguiment en CIR precoç

Weeks from diagnosis to delivery in SGA and FGR



	SGA (n = 48)	FGR (n = 86)
sFlt-1/PlGF	3.95 (2.11–7.53)	7.80 (2.89–28.9)
<38	48 (100%)	67 (77.9%)
>85	0	15 (17.4%)
>110	0	13 (15.1%)
>201	0	8 (9.3%)
>655	0	6 (7.0%)

**PEG + sFlt1/PlGF <38 → VPN 100% Part 3 set**

**CIR + sFlt1/PlGF <38 → VPN 100% Part 2 set**

**CIR + sFlt1/PlGF >85 → VPP 53% Part 1 set**

**CIR + sFlt1/PlGF >655 → VPP 100% Part 1 set**

**20 - 31+6 SG**

- n = 134 <p10 amb Diàstole + en AU (86 CIR i 48 PEG)
- Estudi prospectiu observacional

# sFlt-1/PlGF en CIR precoç

Time to delivery (days)		29 - 35		22 - 28		15 - 21		8 - 14		3 - 7		≤ 2	
Definitive outcome group		FGR	FGR + PE	FGR	FGR + PE	FGR	FGR + PE	FGR	FGR + PE	FGR	FGR + PE	FGR	FGR + PE
sFlt-1/PlGF ratio	Median (IQR)	103.2 (33.2 – 143.0)	142.7 (106.4 – 395.5)	69.8 (30.0 – 107.1)	185.2 (120.7 – 449.4) †	103.4 (71.0 – 135.3)	324.1 (232.9 – 531.3) *	80.8 (45.3 – 182.3)	342.3 (223.6 – 504.1) *	199.8 (83.6 – 312.2)	566.7 (328.2 – 844.3) *	194.1 (87.8 – 391.2)	822.9 (528.2 – 1090.5) *
	Increase (% per day)§	1.6 (3.2)	6.6 (9.3)	1.6 (3.8)	6.0 (6.2)	-0.12 (7.0)	4.0 (8.7)	0.8 (7.4)	4.2 (6.8)	6.6 (15.1)	8.4 (13.4)	5.3 (16.4)	24.2 (58.5)

## n = 73 CIR de <32+0 SG

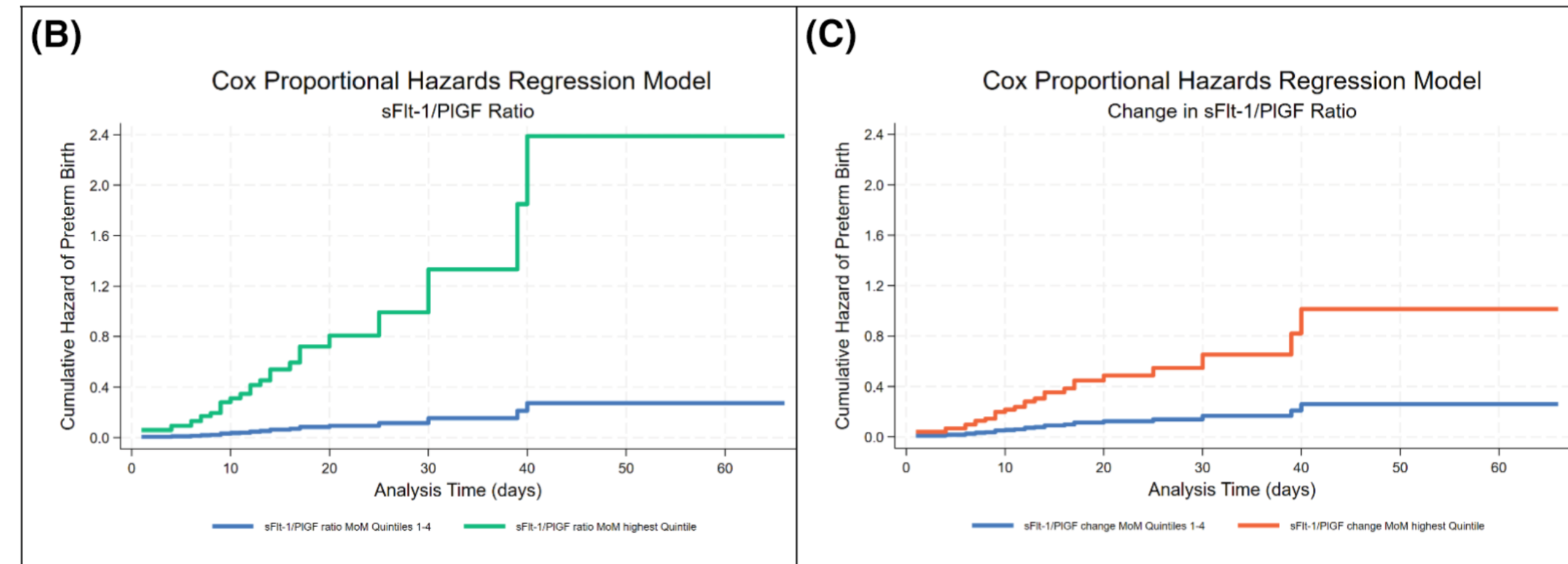
- PFE < p3
- PFE 3-10 + Doppler
- Ratio setmanal

- 73% CIR amb [sFlt-1/PlGF] >38 4 set abans del part
- 100% CIR + PE amb [sFlt-1/PlGF] >38 4 set abans del part
- Aparició de PE escurça 1,6 setm al part

# sFlt-1/PlGF setmanal en CIR precoç

**≥24+0 SG**

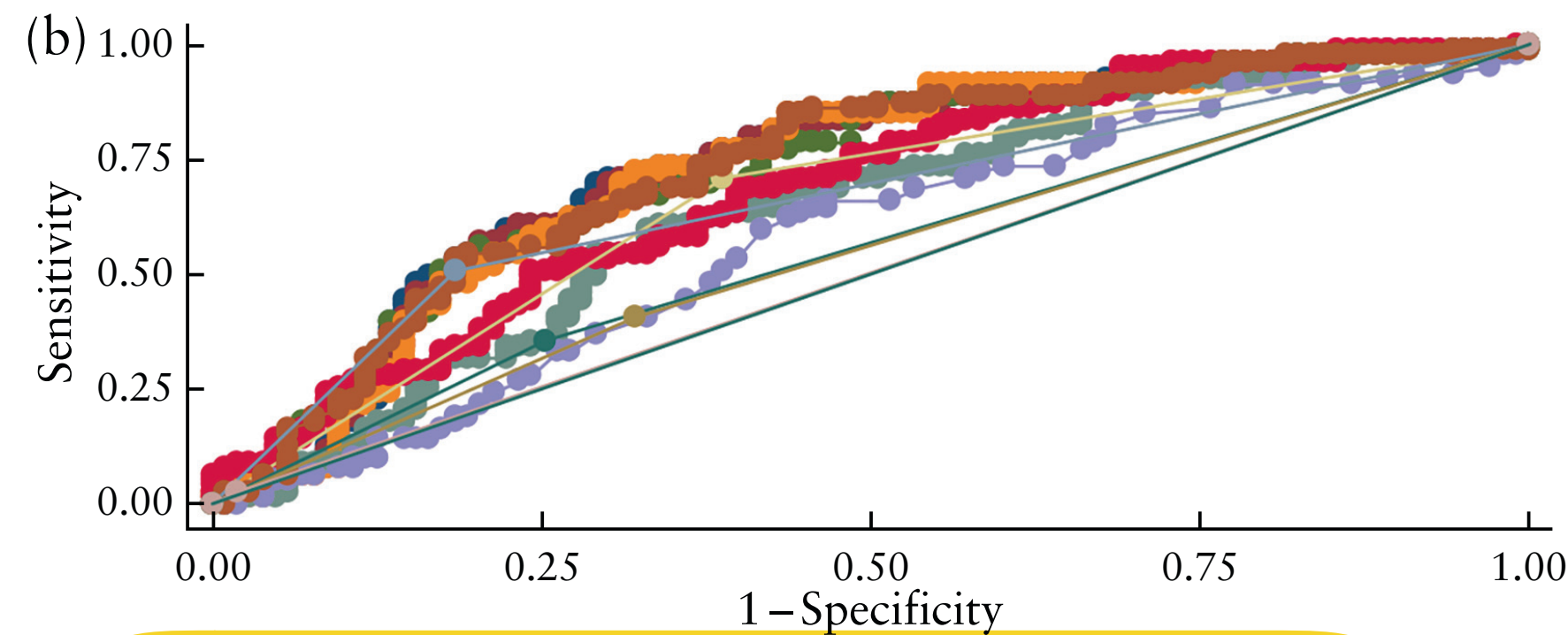
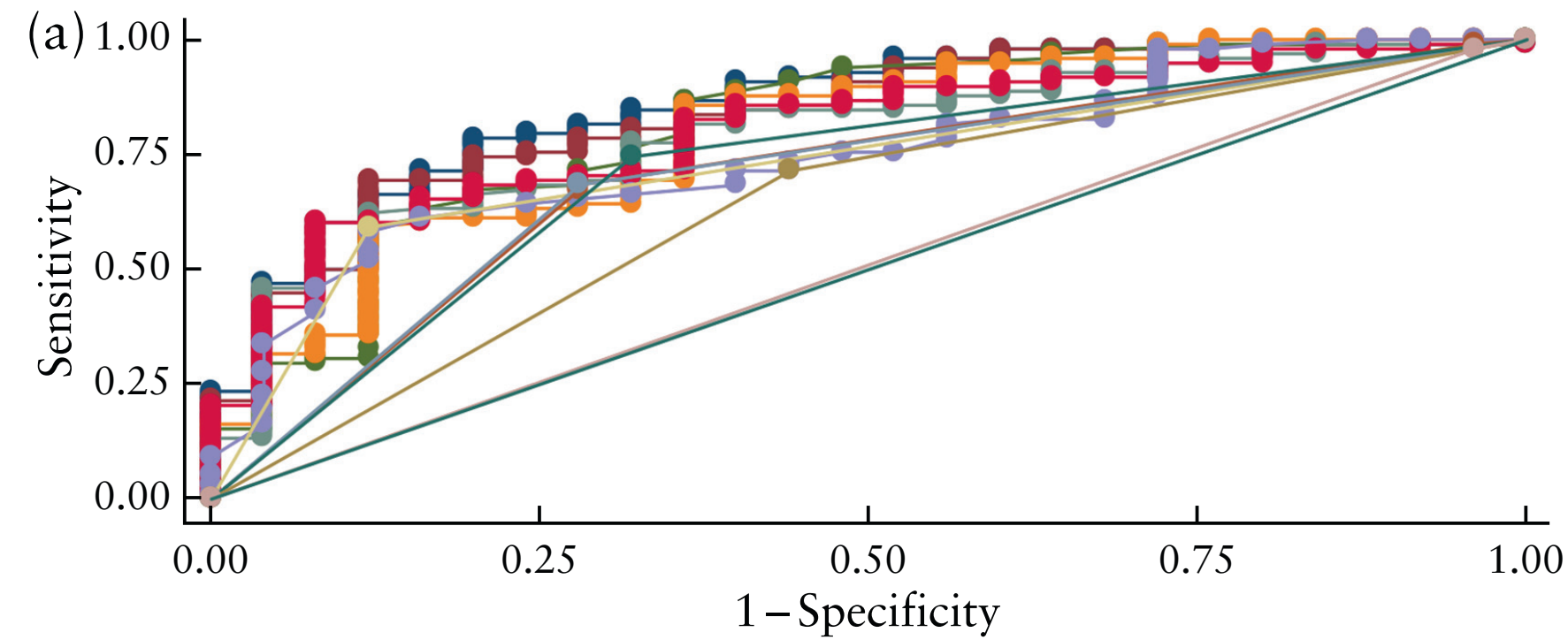
- n = 158 (91 CIRs i 67 AGA)
- Estudi de cohorts prospectiu
- sFlt-1/PlGF cada 4 setmanes



	Univariable HR (95% CI)	p-value	Multivariable <sup>a</sup> HR (95% CI)	p-value	Harrell's C statistic
Model					
PIGF MoM in the lowest quintile	4.45 (1.97–10.02)	<0.001	4.08 (1.83–9.11)	<0.001	0.76
PIGF MoM change per week	0.77 (0.32–1.86)	0.65	0.65 (0.25–1.67)	0.37	0.68
sFlt-1/PlGF ratio highest quintile MoM	9.16 (4.13–20.31)	<0.001	8.74 (3.96–19.32)	<0.001	0.85
sFlt-1/PlGF ratio MoM change per week	5.24 (2.12–12.94)	0.001	3.91 (1.39–10.99)	0.01	0.74

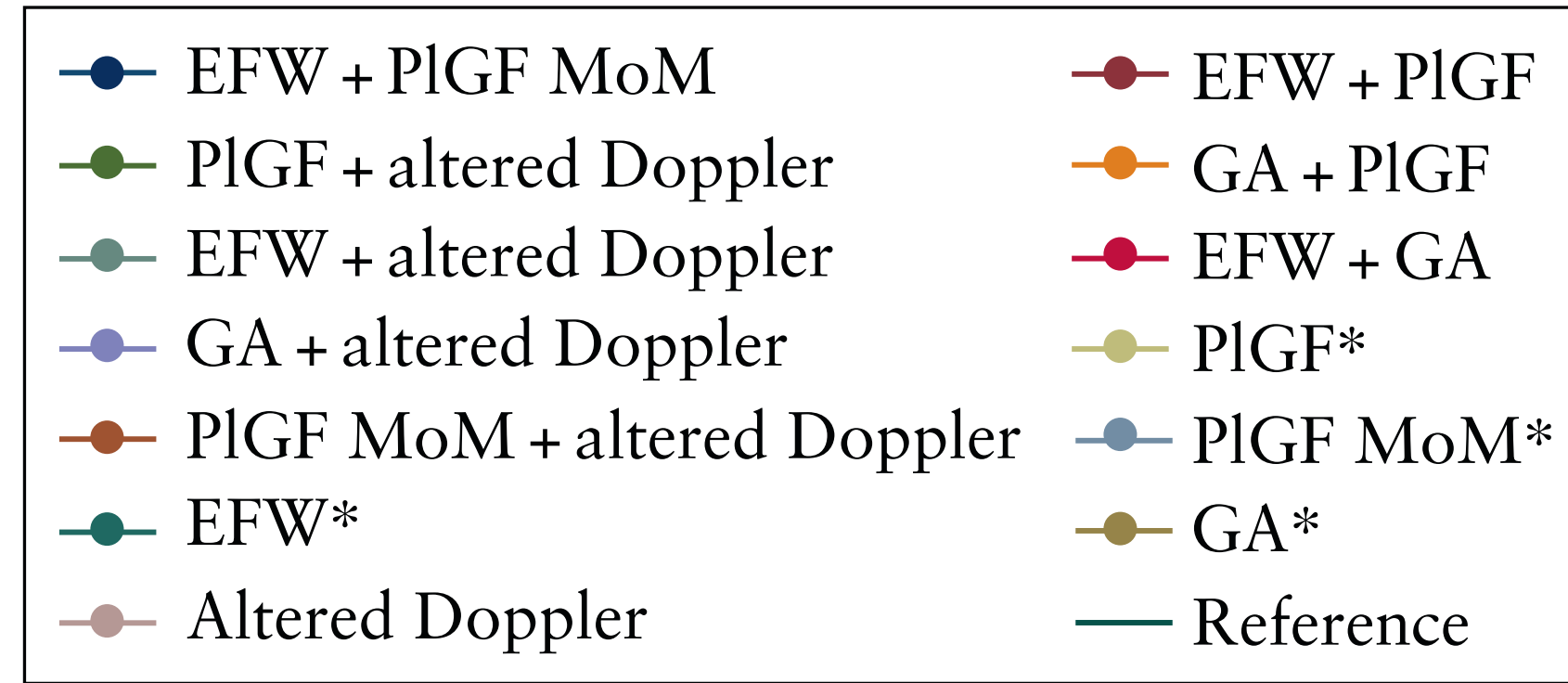
**L'increment de sFlt-1/PlGF no és millor que un valor únic de [sFlt-1/PlGF]**

# PIGF i assessorament en CIR precoç



**< 32+0 SG**

- n = 210 CIR precoços
- Estudi de cohorts prospectiu
- Predicció de supervivència al Dx



**PFE >500g o PIGF ≥37pg/mL → SV 80%**

**PFE >500g + PIGF ≥37pg/mL → SV 95%**

**PFE ≤500g o PIGF <37pg/mL → SV 50%**

# sFlt-1/PlGF i assessorament en CIR precoç

## 20 - 31+6 SG

- n = 173 <p10 (124 CIR i 49 PEG)
- Estudi prospectiu observacional
- Creació de models d'assessorament

Edat gestacional al Diagnòstic

Percentil i PFE al Diagnòstic

Doppler fetal al Diagnòstic

Doppler uterí al Diagnòstic

Risc de PE al Diagnòstic

Ratio sFlt-1/PlGF al Diagnòstic

	Part <30 SG AUC (IC 95%)	Part <34 SG AUC (IC 95%)	Part <37 SG AUC (IC 95%)	EPA AUC (IC 95%)
<b>sFlt-1/PlGF</b>	<b>0,961</b> (0,925-0,997)	<b>0,939</b> (0,894-0,983)	<b>0,861</b> (0,789-0,933)	<b>0,833</b> (0,771-0,896)
<b>Model amb sFlt-1/PlGF</b>	<b>0,975</b> (0,953-0,998)	<b>0,965</b> (0,940-0,991)	<b>0,850</b> (0,772-0,929)	<b>0,873</b> (0,821-0,925)
<b>Model sense sFlt-1/PlGF</b>	<b>0,886</b> (0,881-0,961)	<b>0,937</b> (0,893-0,981)	<b>0,780</b> (0,683-0,877)	<b>0,856</b> (0,799-0,912)

- Model multivariable complet presenta major capacitat de predicció
- No diferències entre model complet vs sFlt-1/PlGF
- Model sense ratio té bona predicció global



# Conclusions

## Diagnòstic

- Bona correlació Doppler - Ràtio sFlt-1/PIGF
- 88% CIR II RFA >85
- 100% CIR III RFA >85

## Seguiment

- **PEGs** Ràtio sFlt-1/PIGF **<38** es podrien beneficiar de controls c/3 setmanes
- **CIRs I** Ràtio sFlt-1/PIGF **<38** es podrien beneficiar de controls c/2 setmanes
- **CIRs I** Ràtio sFlt-1/PIGF **>85** es podrien beneficiar de controls més estrets
- La determinació repetida no suposa un millor seguiment

## Pronòstic

- Ràtio sFlt-1/PIGF elevats: pitjors resultats perinatals i menor temps fins el part
- Càlcul individualitzat de complicacions
- Determinació única al diagnòstic

# Conclusions

## Diagnòstic

- Bona correlació Doppler - Ràtio sFlt-1/PIGF
- 88% CIR II RFA >85
- 100% CIR III RFA >85

## Seguiment

- **PEGs** Ràtio sFlt-1/PIGF **<38** es podrien beneficiar de controls c/3 setmanes
- **CIRs I** Ràtio sFlt-1/PIGF **<38** es podrien beneficiar de controls c/2 setmanes
- **CIRs I** Ràtio sFlt-1/PIGF **>85** es podrien beneficiar de controls més estrets
- La determinació repetida no suposa un millor seguiment

## Pronòstic

- Ràtio sFlt-1/PIGF elevats: pitjors resultats perinatales i menor temps fins el part
- Càlcul individualitzat de complicacions
- Determinació única al diagnòstic

**El valor de Ràtio sFlt-1/PIGF NO permet indicar finalització de la gestació**

Moltes gràcies

---

per la vostra atenció

**Dr. Pablo Garcia Manau**  
**Dr. Ignasi Montoro Pacha**



**SANT PAU**  
**Campus Salut**  
Barcelona